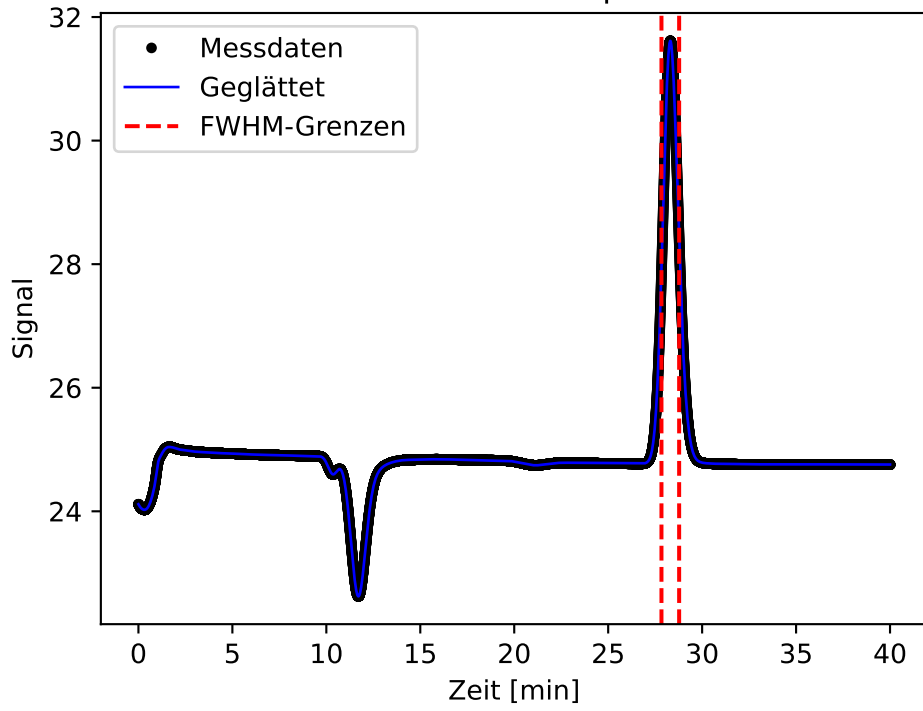
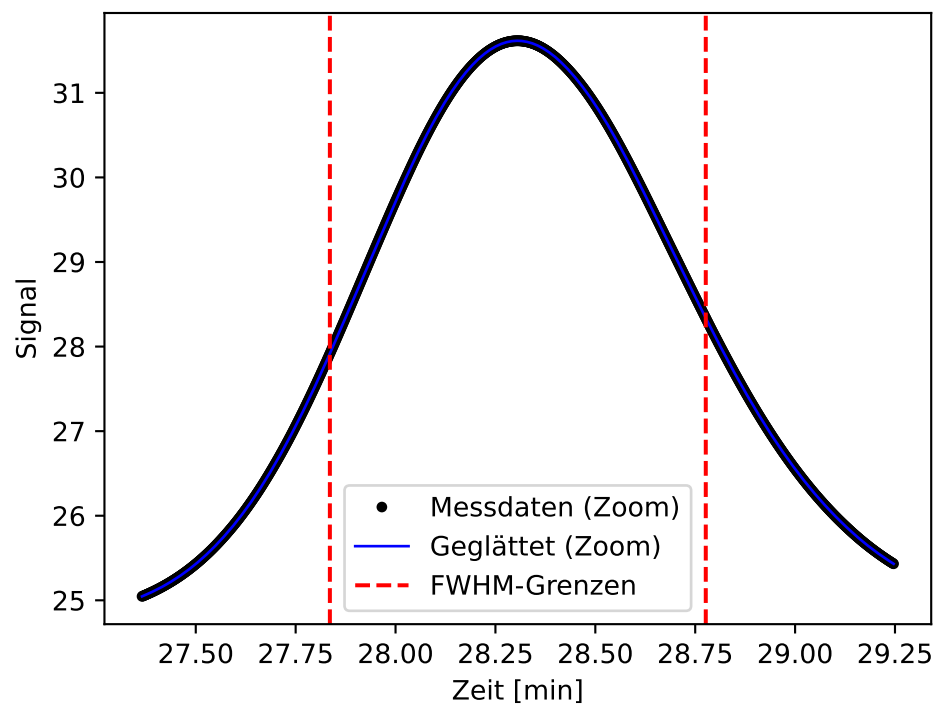


Messung 1: 2025-02-21_CI_01 vs. 2025-02-26_S007_CI_20

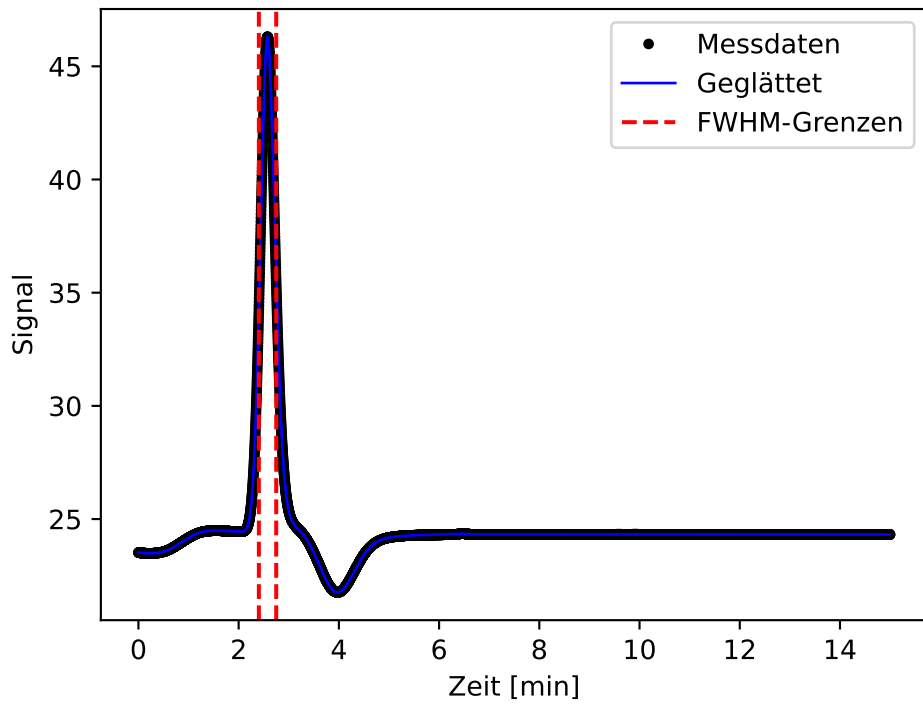
Mit Säule - Komplet



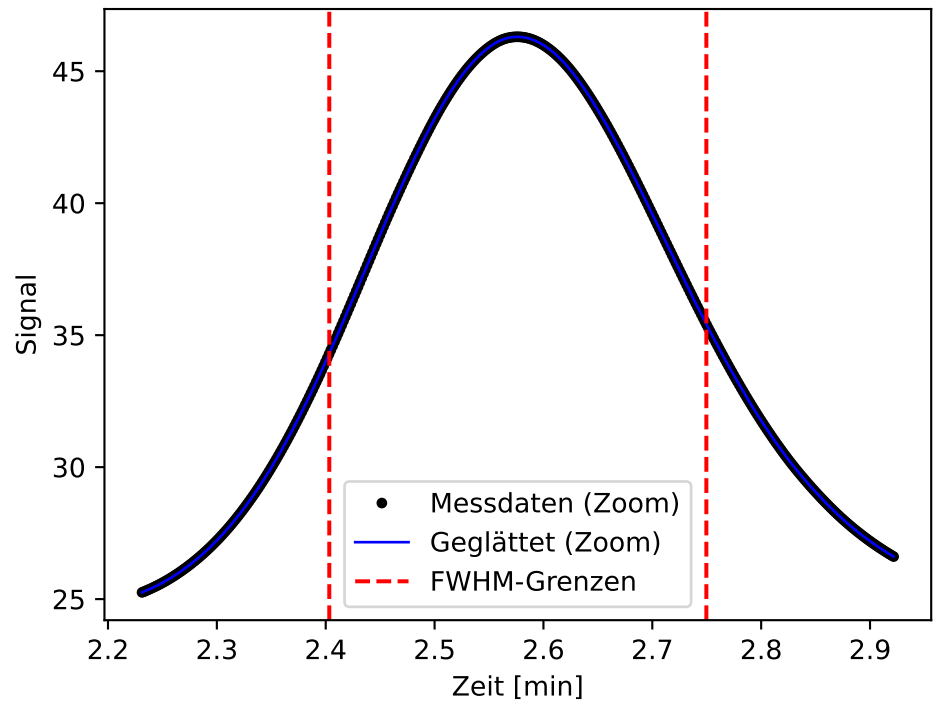
Mit Säule - Zoom



Ohne Säule - Komplet



Ohne Säule - Zoom

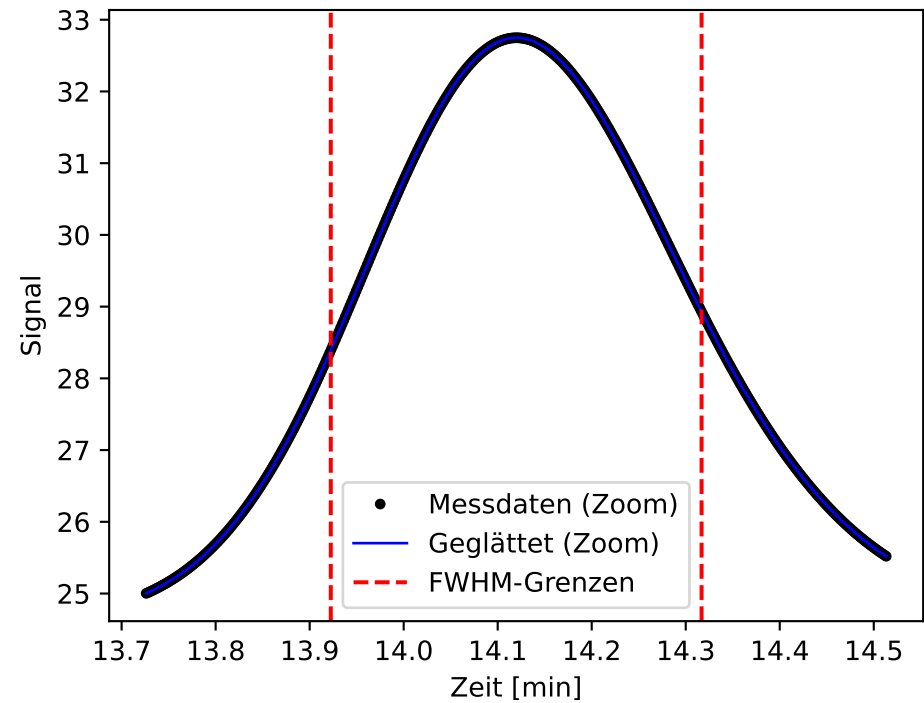
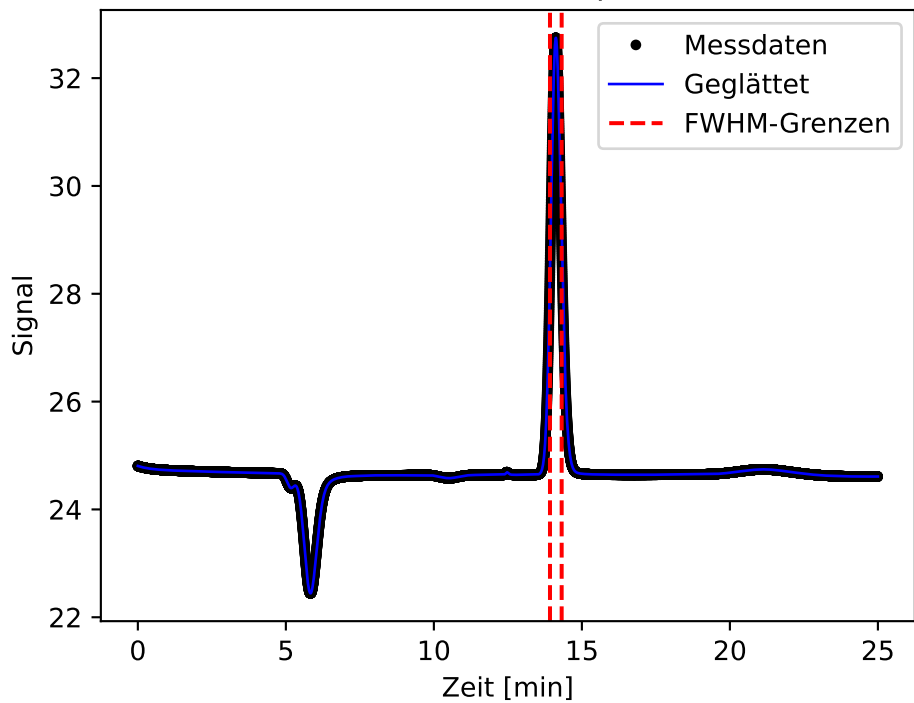


FWHM (mit Säule): 0.9408 min
FWHM (ohne Säule): 0.3464 min
 σ_{obs} (mit Säule): 0.3995
 σ_{ext} (ohne Säule): 0.1471
 σ_{col} (Säule): 0.3715
FWHM (Säule): 0.8747 min

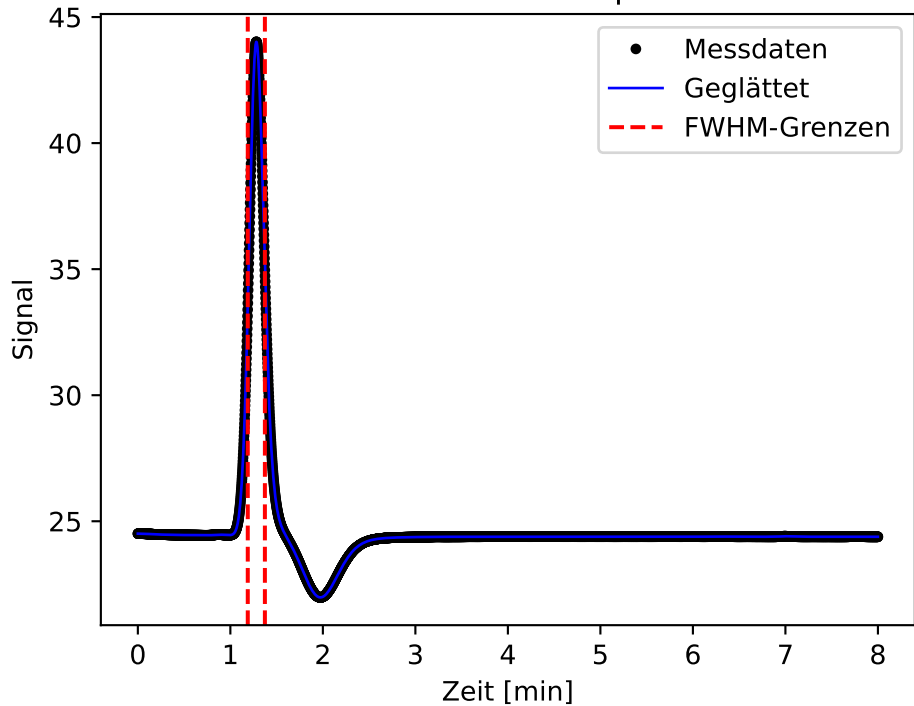
Messung 2: 2025-02-21_CI_02 vs. 2025-02-26_S007_CI_19

Mit Säule - Komplet

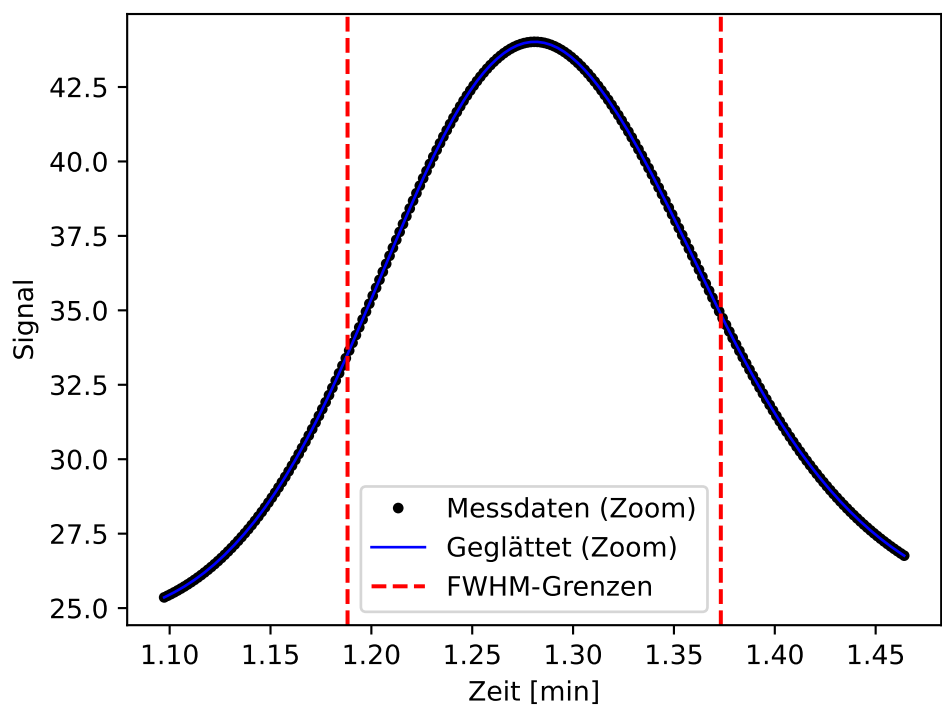
Mit Säule - Zoom



Ohne Säule - Komplet

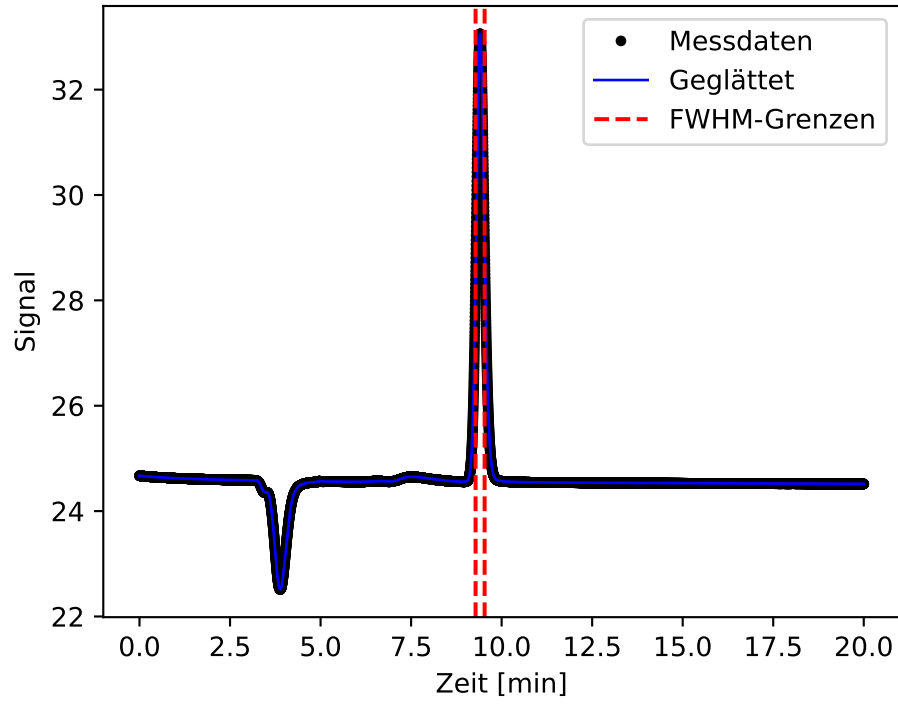


Ohne Säule - Zoom

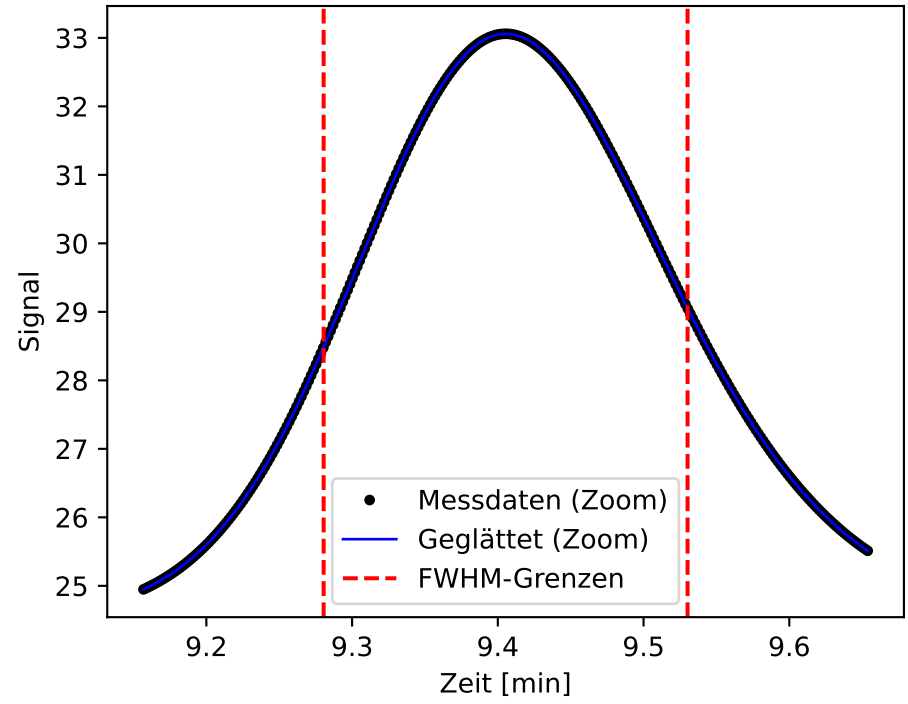


FWHM (mit Säule): 0.3944 min
FWHM (ohne Säule): 0.1851 min
 σ_{obs} (mit Säule): 0.1675
 σ_{ext} (ohne Säule): 0.0786
 σ_{col} (Säule): 0.1479
FWHM (Säule): 0.3483 min

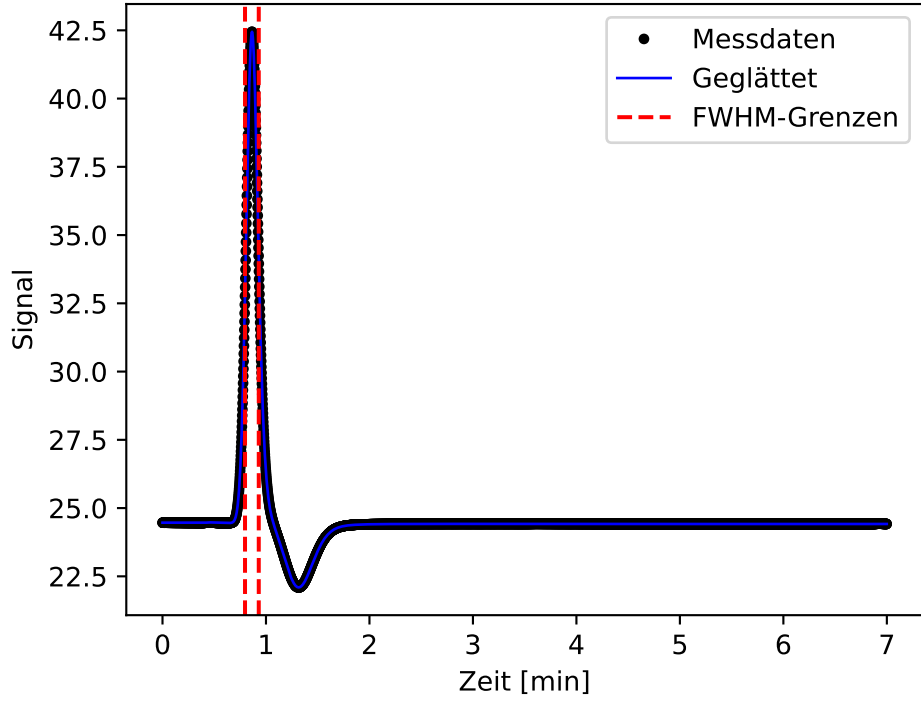
Messung 3: 2025-02-21_CI_03 vs. 2025-02-26_S007_CI_18
Mit Säule - Komplet



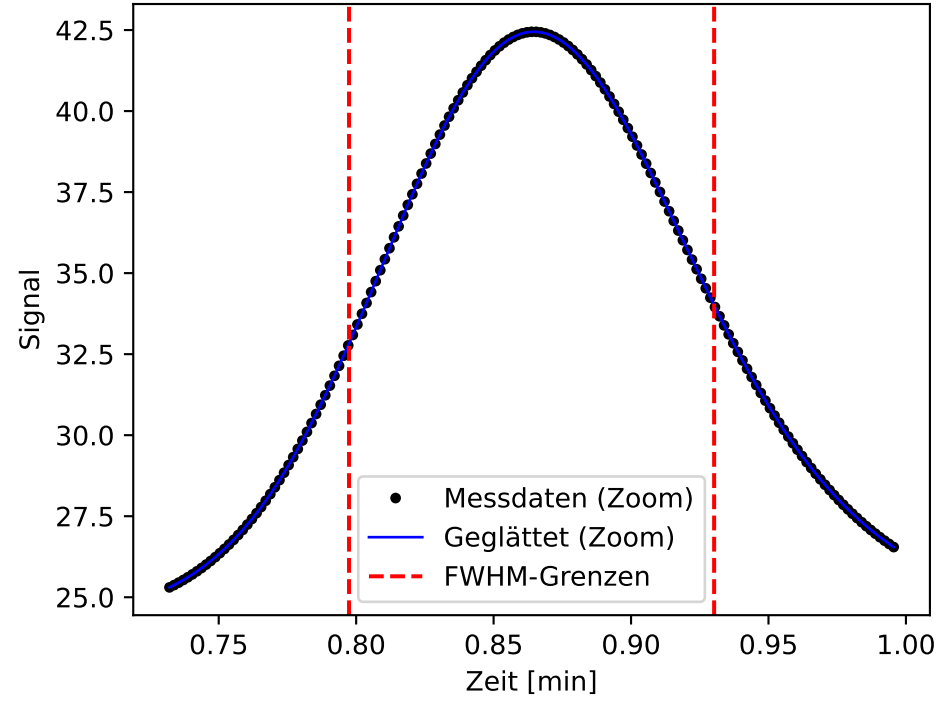
Mit Säule - Zoom



Ohne Säule - Komplet



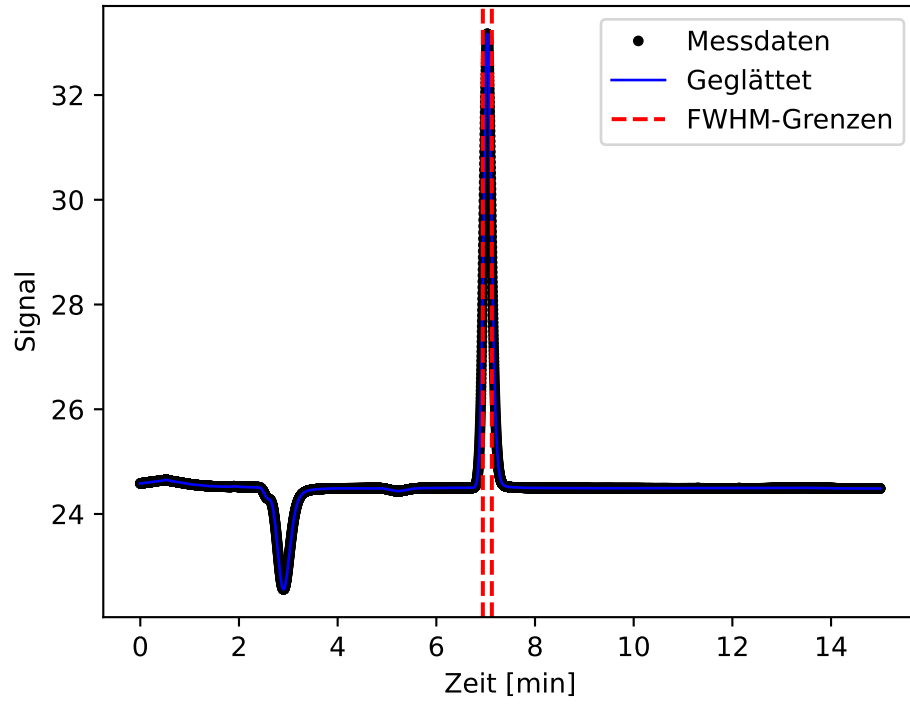
Ohne Säule - Zoom



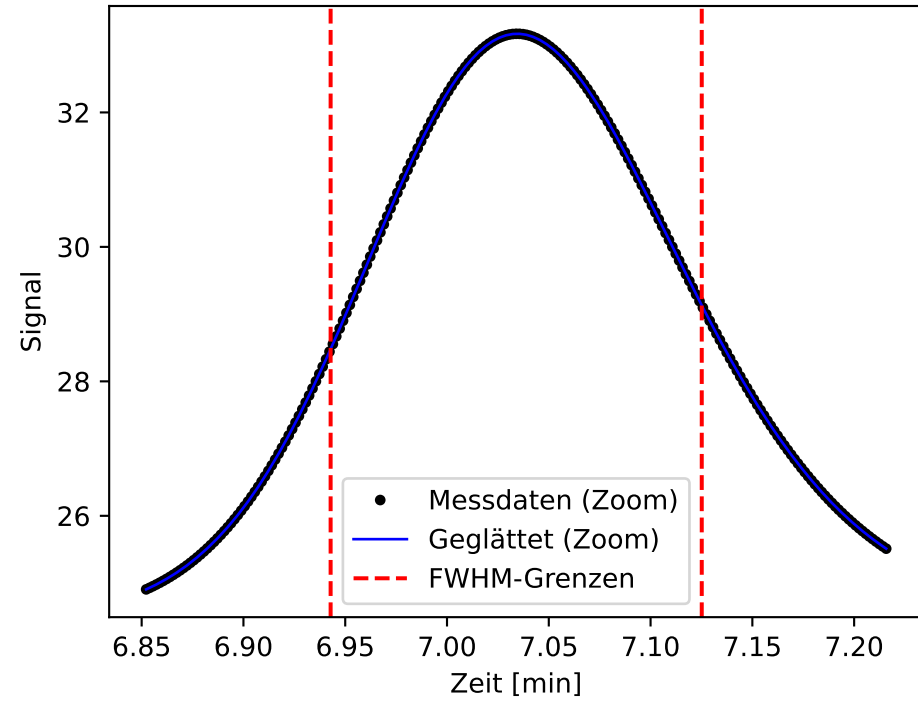
FWHM (mit Säule): 0.2497 min
FWHM (ohne Säule): 0.1328 min
 σ_{obs} (mit Säule): 0.1060
 σ_{ext} (ohne Säule): 0.0564
 σ_{col} (Säule): 0.0898
FWHM (Säule): 0.2115 min

Messung 4: 2025-02-21_CI_04 vs. 2025-02-26_S007_CI_17

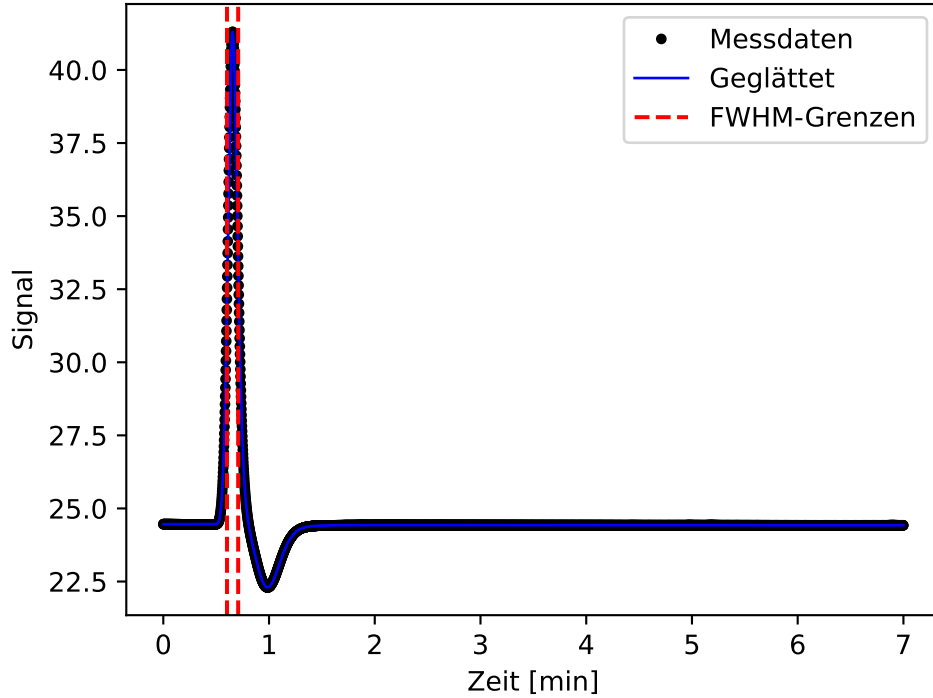
Mit Säule - Komplet



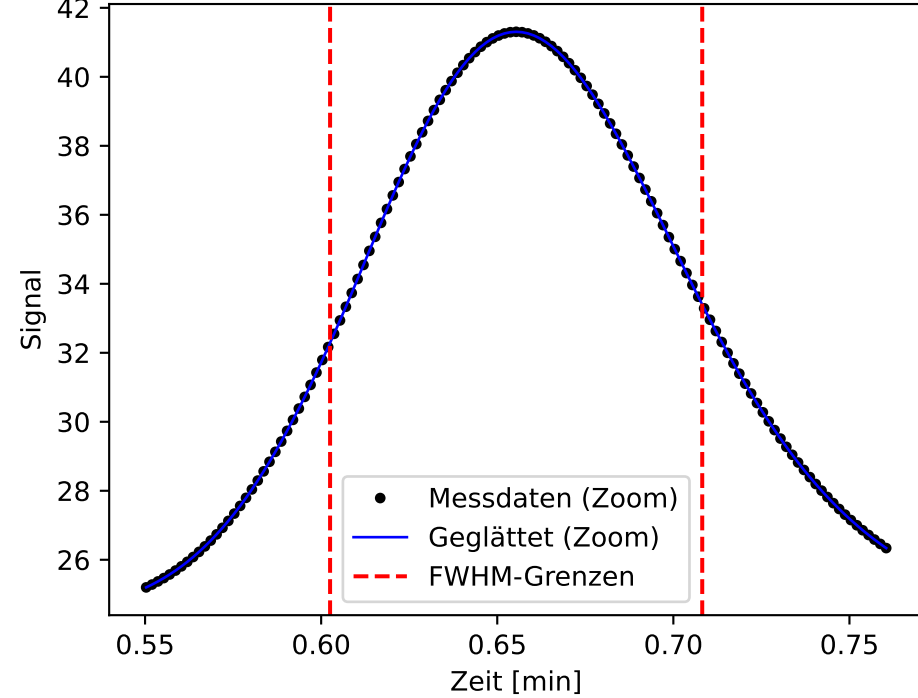
Mit Säule - Zoom



Ohne Säule - Komplet



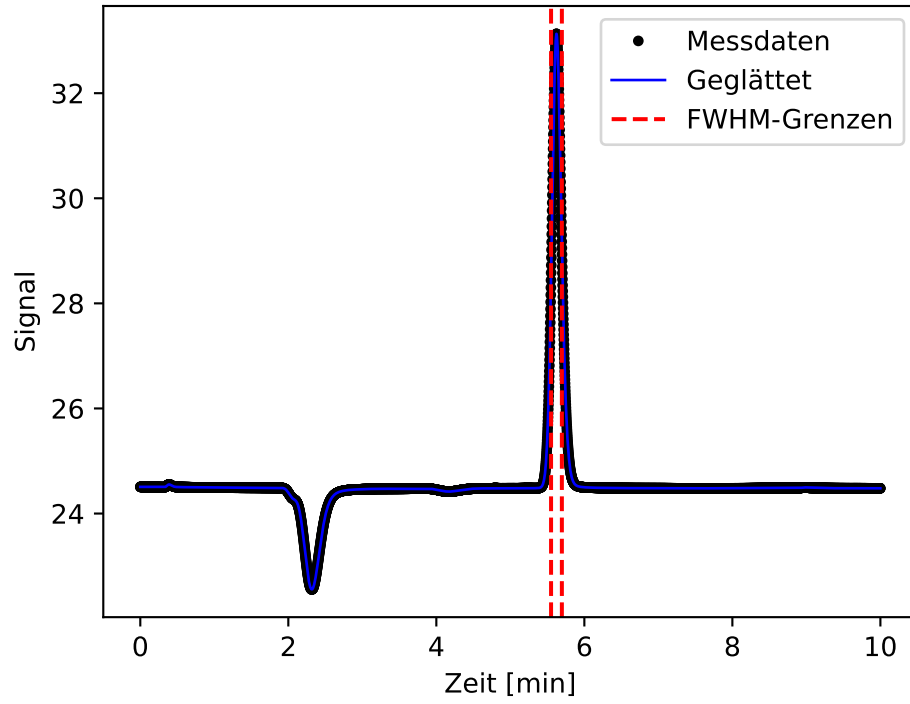
Ohne Säule - Zoom



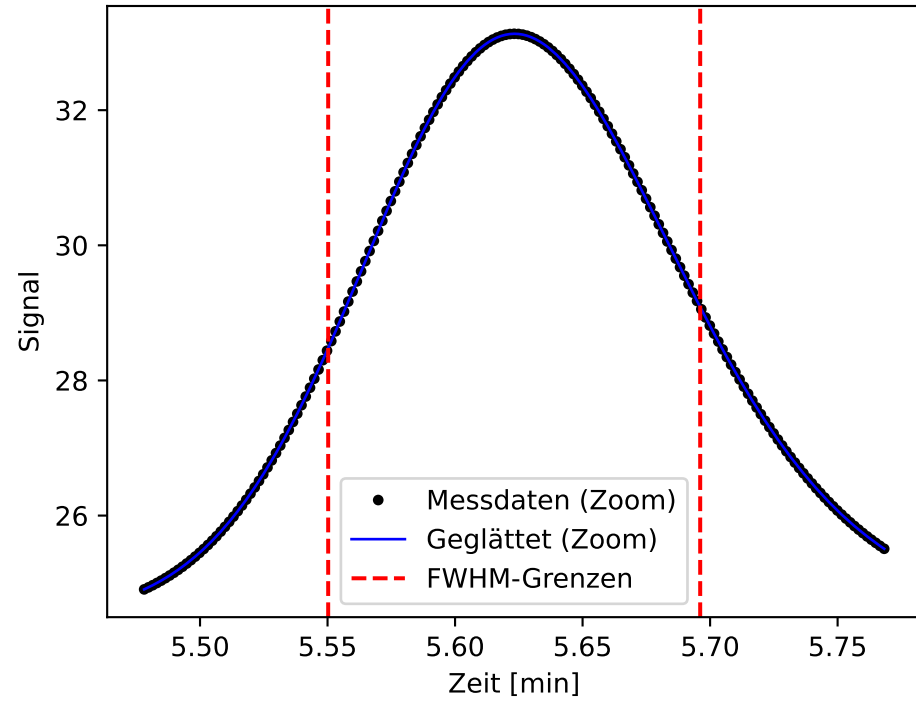
FWHM (mit Säule): 0.1823 min
FWHM (ohne Säule): 0.1057 min
 σ_{obs} (mit Säule): 0.0774
 σ_{ext} (ohne Säule): 0.0449
 σ_{col} (Säule): 0.0631
FWHM (Säule): 0.1486 min

Messung 5: 2025-02-21_CI_05 vs. 2025-02-26_S007_CI_16

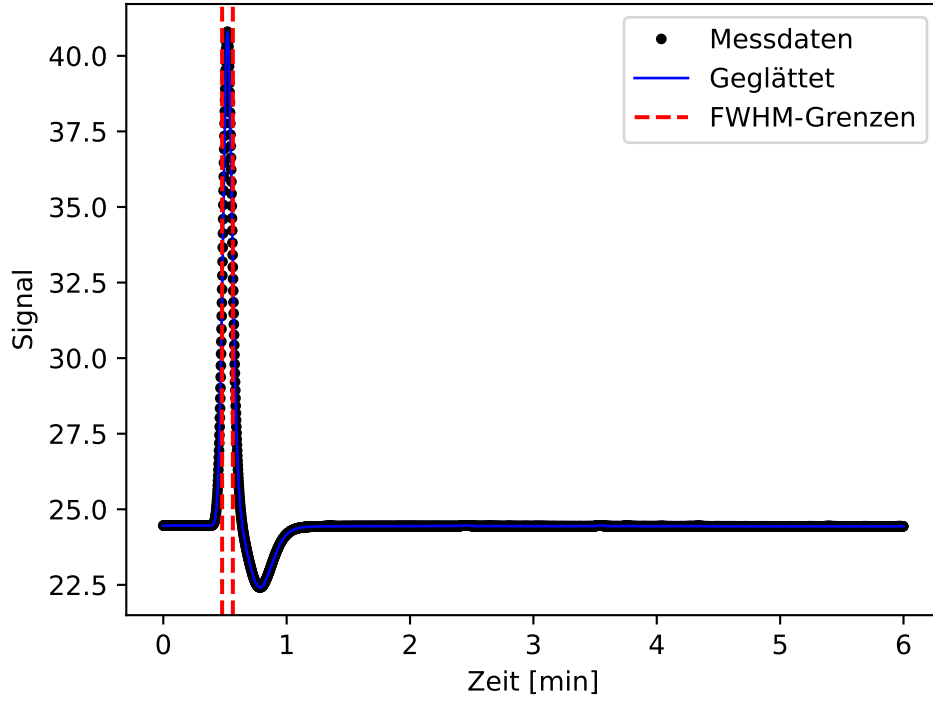
Mit Säule - Komplet



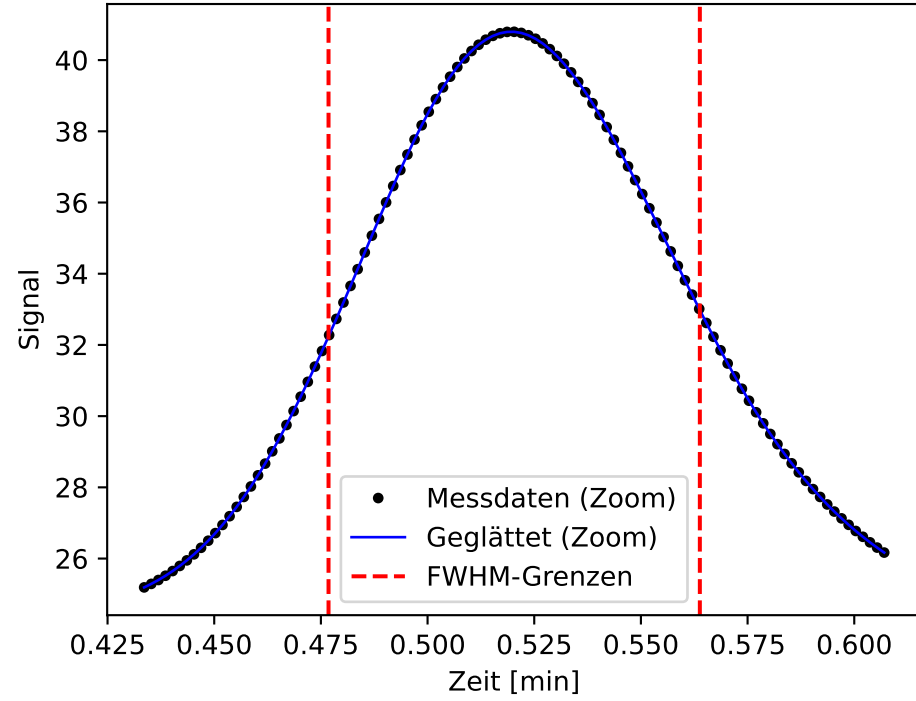
Mit Säule - Zoom



Ohne Säule - Komplet



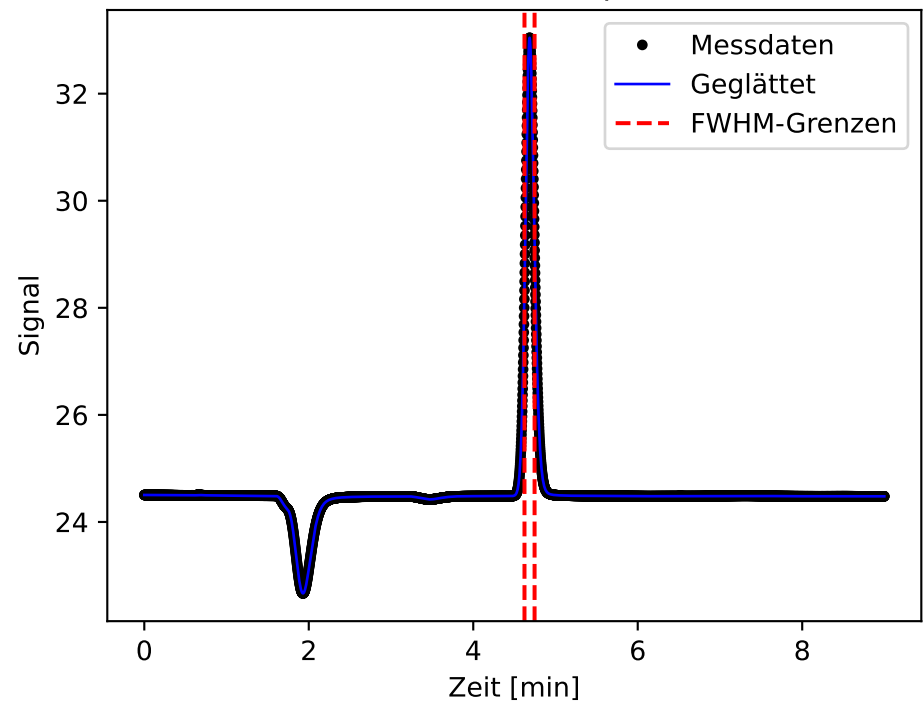
Ohne Säule - Zoom



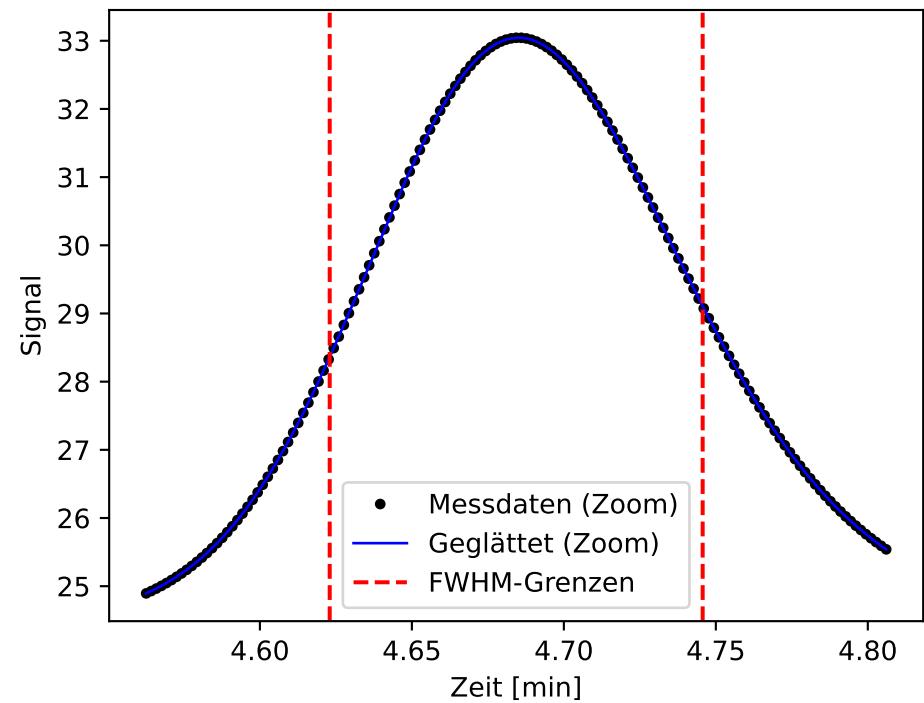
FWHM (mit Säule): 0.1459 min
FWHM (ohne Säule): 0.0870 min
 σ_{obs} (mit Säule): 0.0619
 σ_{ext} (ohne Säule): 0.0370
 σ_{col} (Säule): 0.0497
FWHM (Säule): 0.1171 min

Messung 6: 2025-02-21_CI_06 vs. 2025-02-26_S007_CI_15

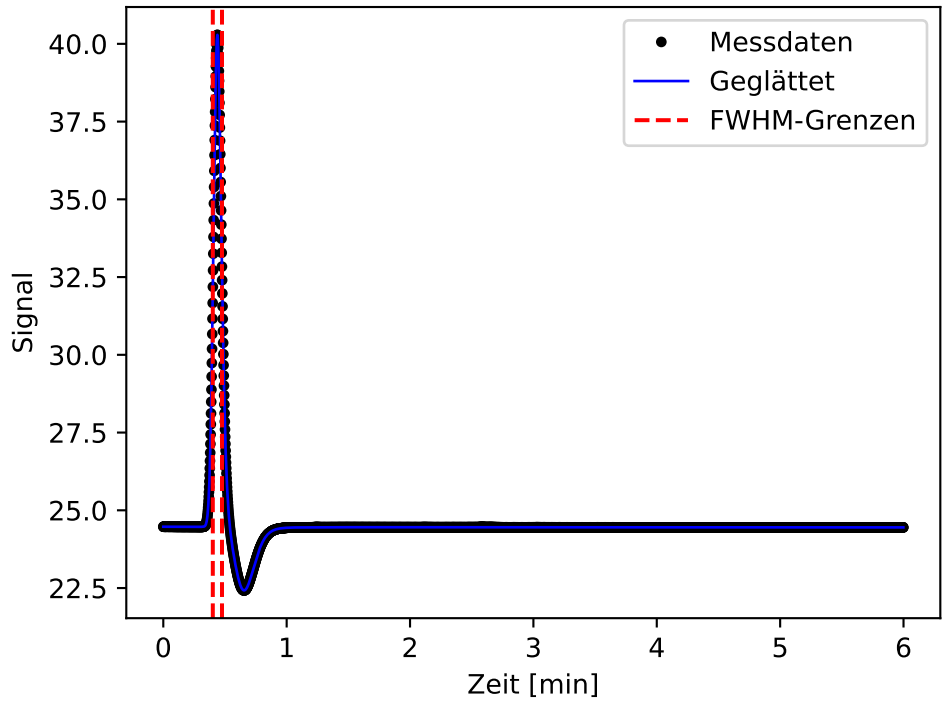
Mit Säule - Komplet



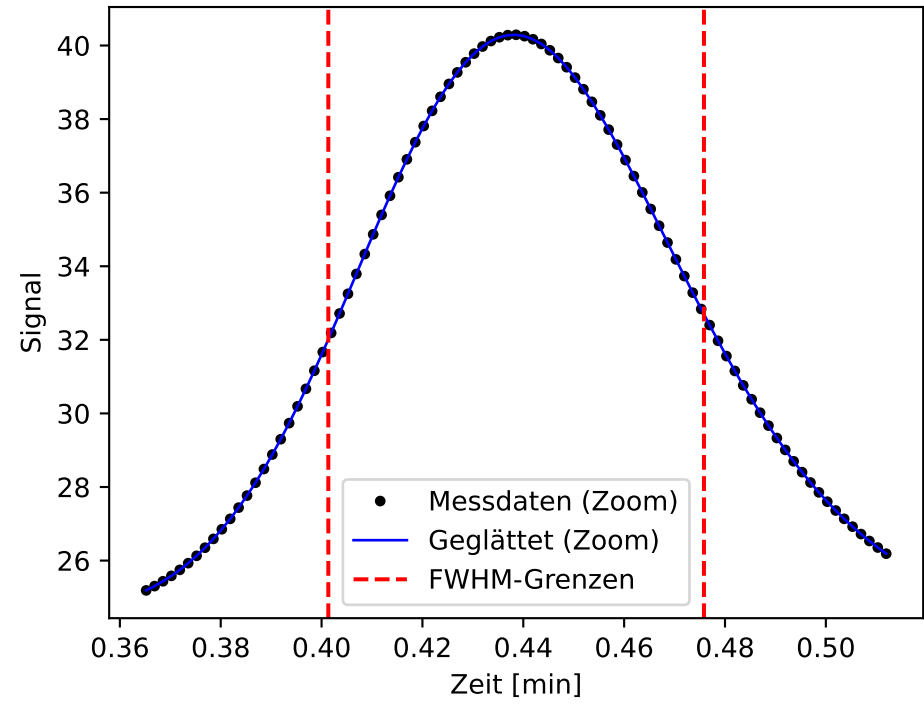
Mit Säule - Zoom



Ohne Säule - Komplet



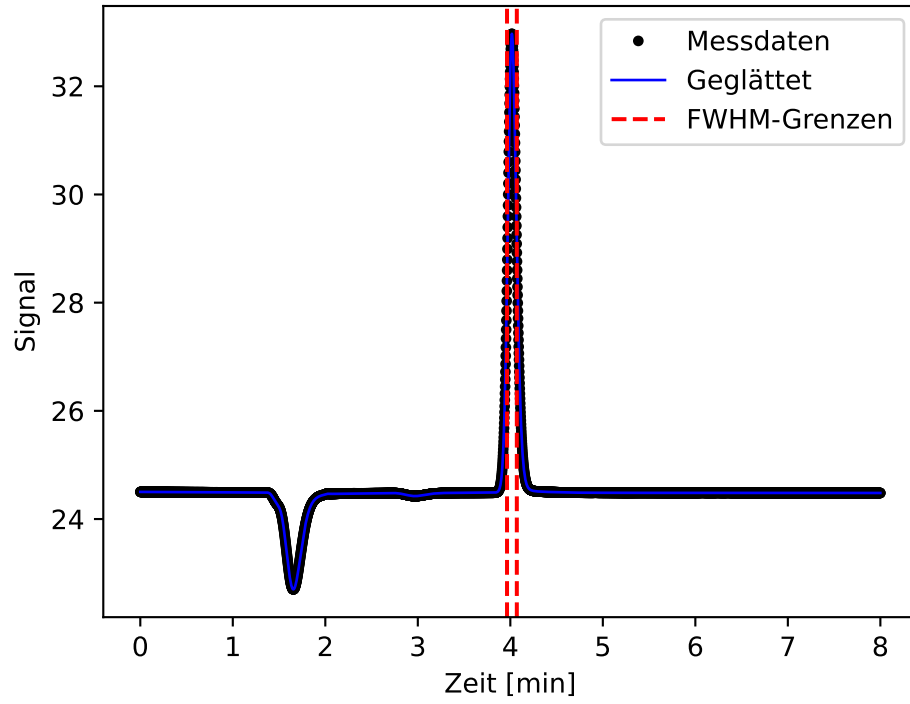
Ohne Säule - Zoom



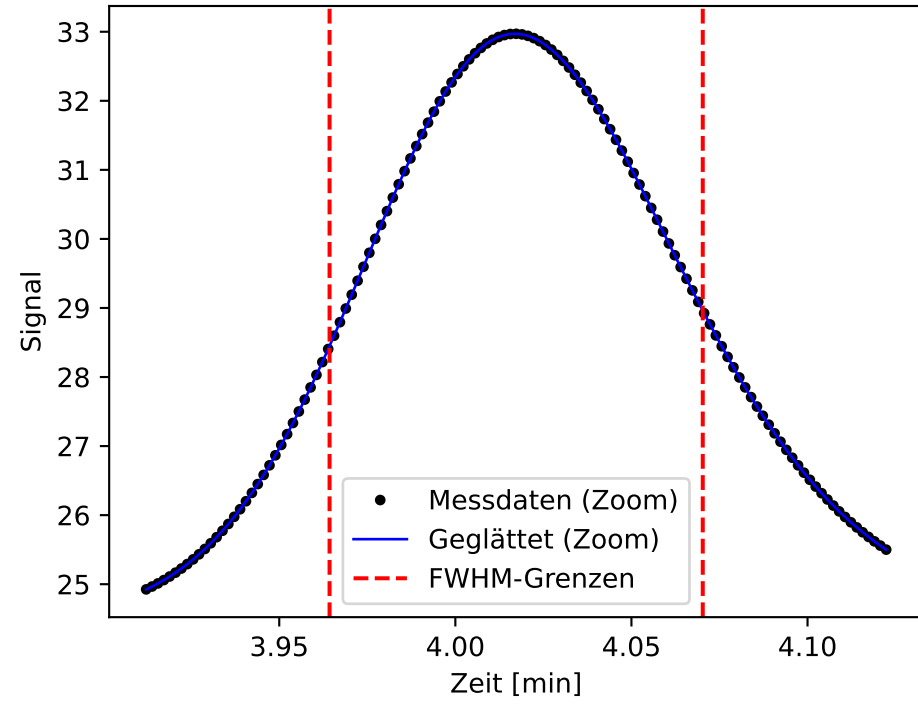
FWHM (mit Säule): 0.1227 min
FWHM (ohne Säule): 0.0745 min
 σ_{obs} (mit Säule): 0.0521
 σ_{ext} (ohne Säule): 0.0316
 σ_{col} (Säule): 0.0414
FWHM (Säule): 0.0975 min

Messung 7: 2025-02-21_CI_07 vs. 2025-02-26_S007_CI_14

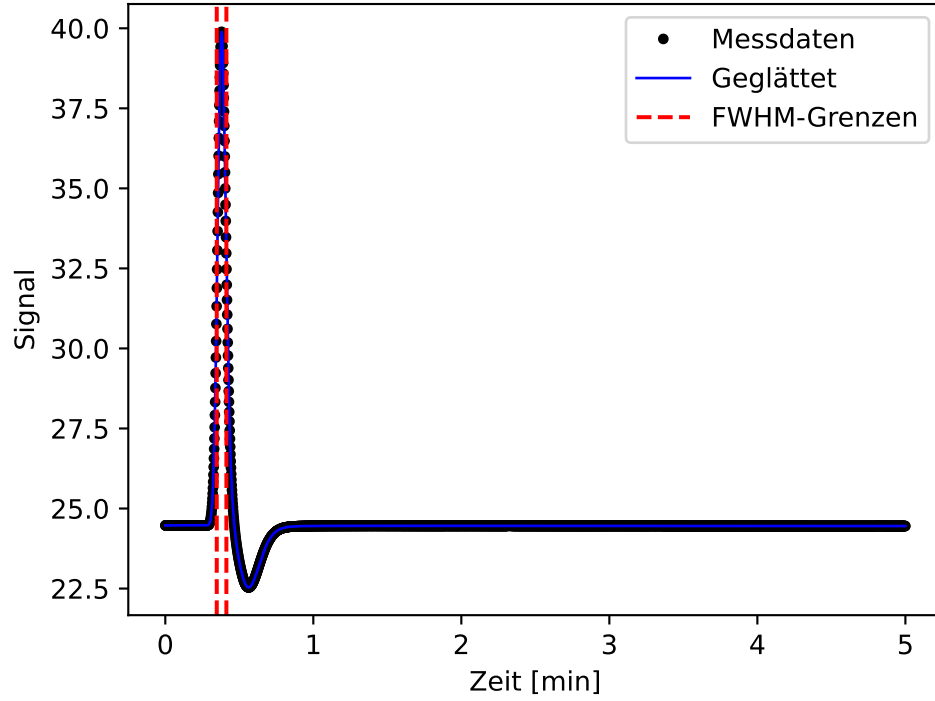
Mit Säule - Komplet



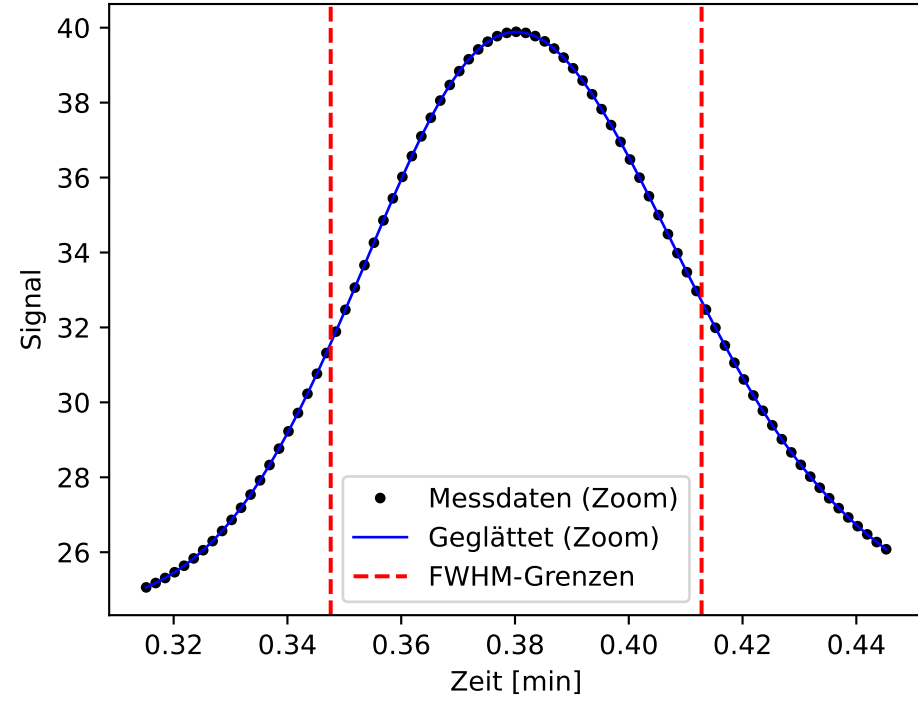
Mit Säule - Zoom



Ohne Säule - Komplet



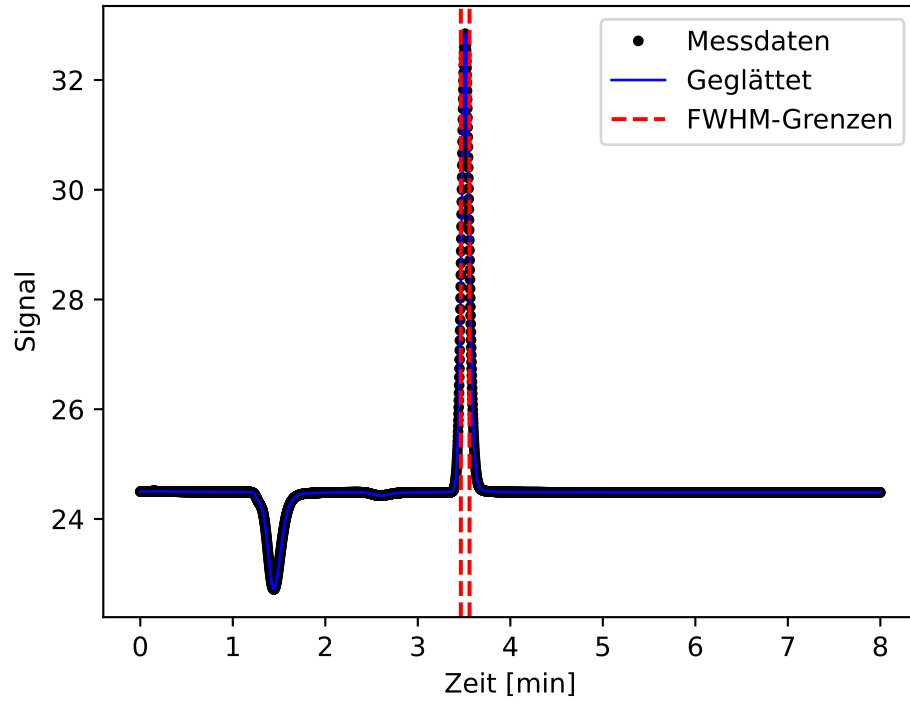
Ohne Säule - Zoom



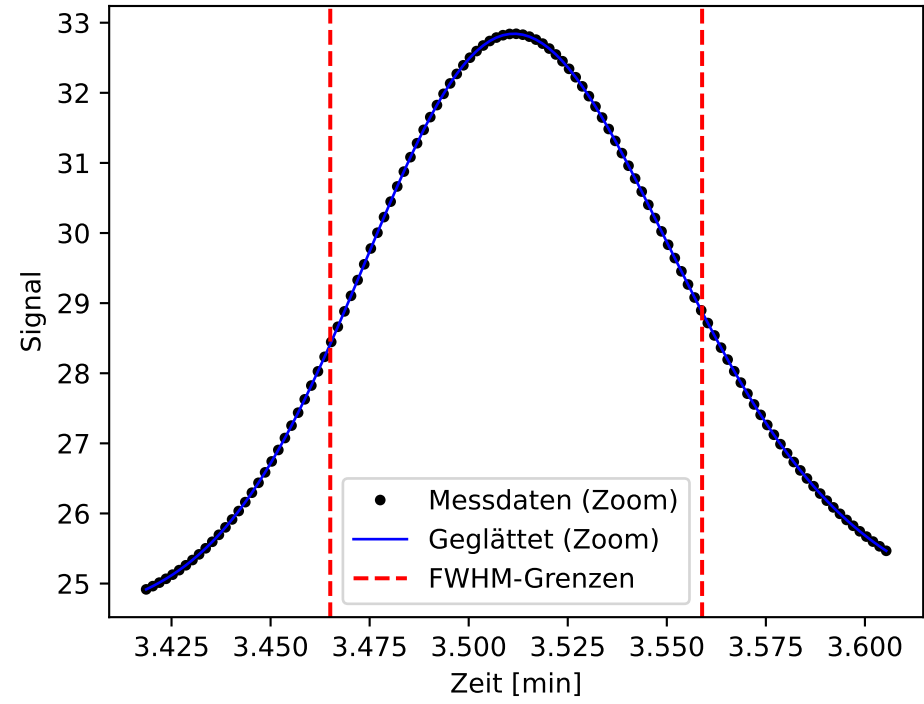
FWHM (mit Säule): 0.1060 min
 FWHM (ohne Säule): 0.0652 min
 σ_{obs} (mit Säule): 0.0450
 σ_{ext} (ohne Säule): 0.0277
 σ_{col} (Säule): 0.0355
 FWHM (Säule): 0.0835 min

Messung 8: 2025-02-21_CI_08 vs. 2025-02-26_S007_CI_13

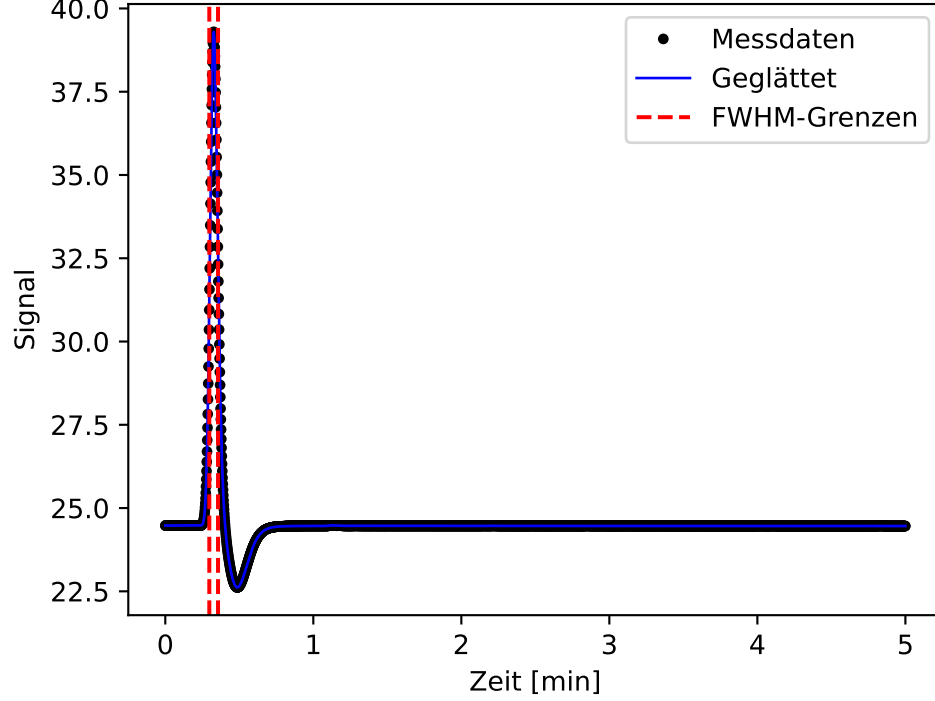
Mit Säule - Komplet



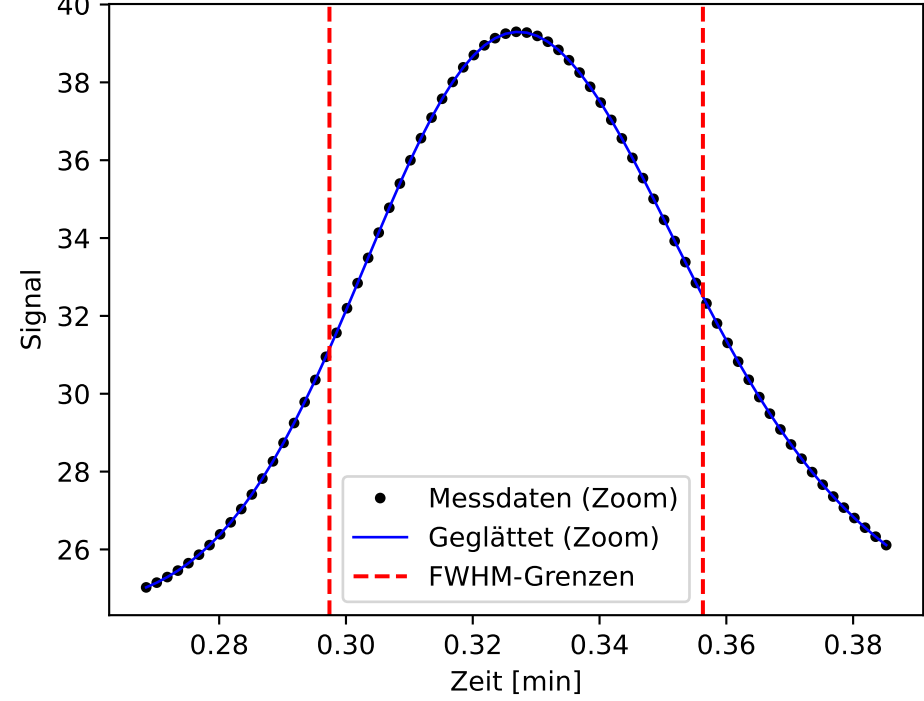
Mit Säule - Zoom



Ohne Säule - Komplet



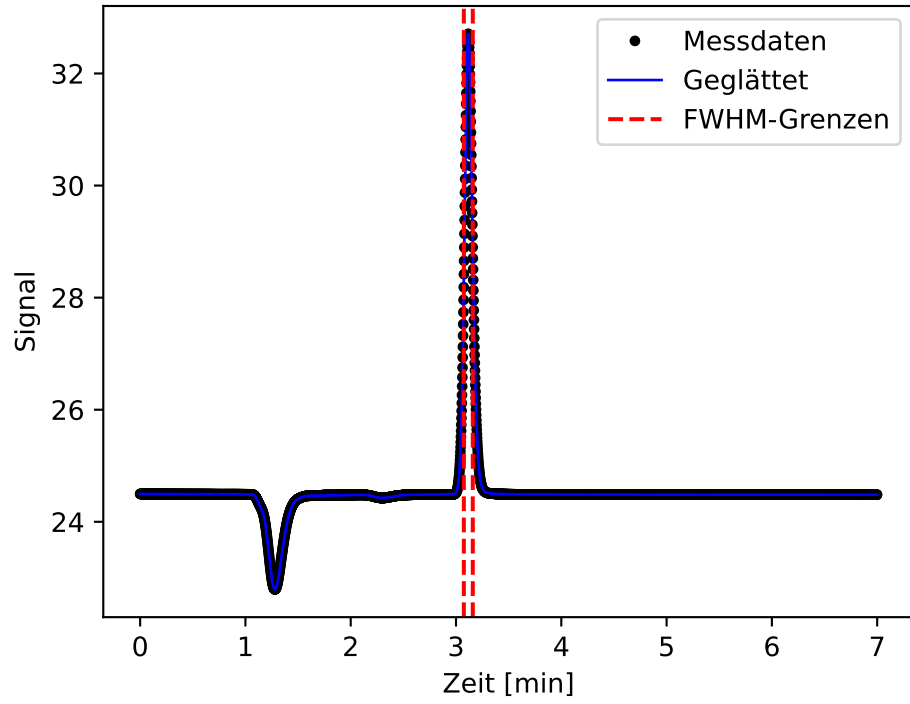
Ohne Säule - Zoom



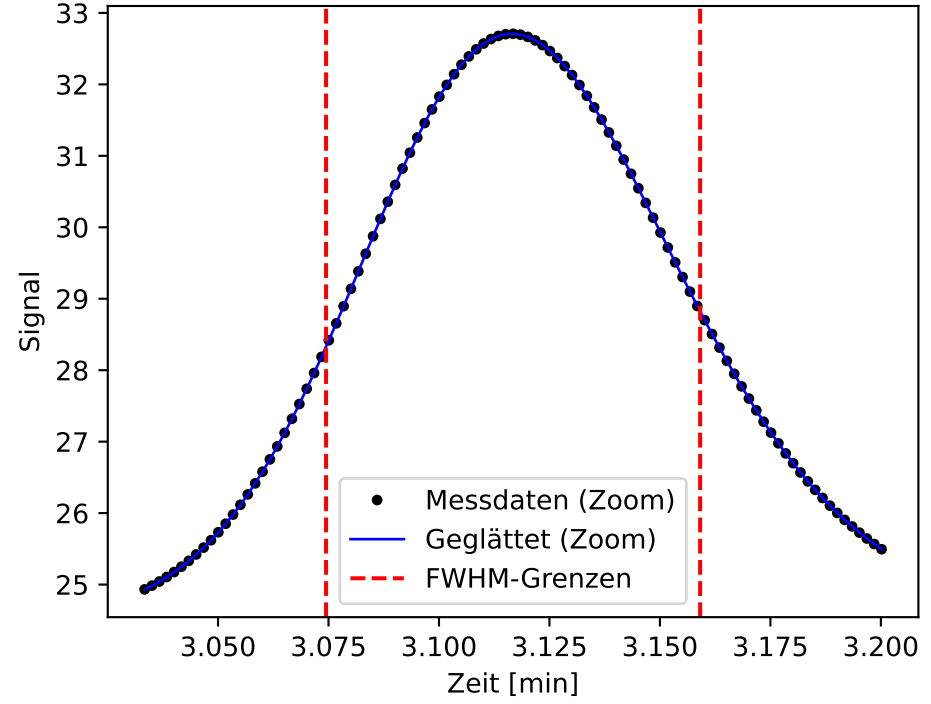
FWHM (mit Säule): 0.0938 min
FWHM (ohne Säule): 0.0589 min
 σ_{obs} (mit Säule): 0.0399
 σ_{ext} (ohne Säule): 0.0250
 σ_{col} (Säule): 0.0310
FWHM (Säule): 0.0731 min

Messung 9: 2025-02-21_CI_09 vs. 2025-02-26_S007_CI_12

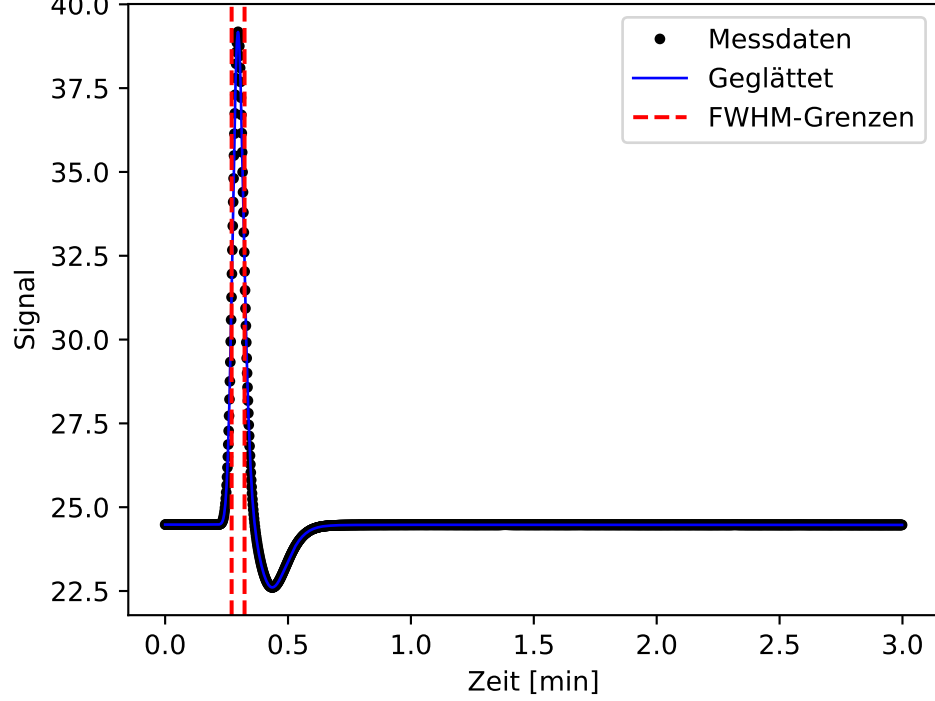
Mit Säule - Komplet



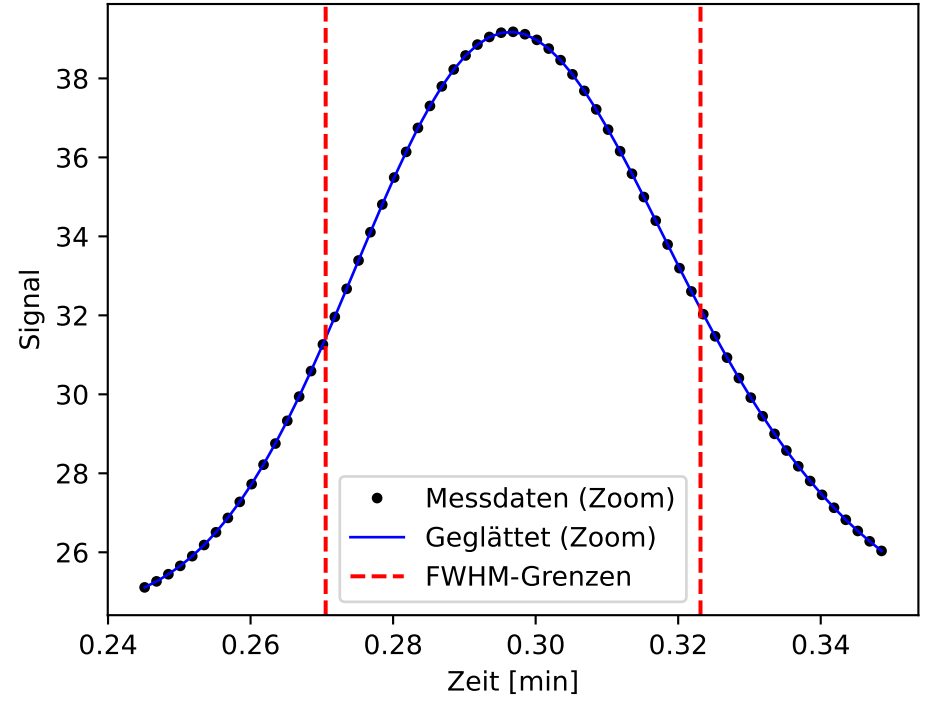
Mit Säule - Zoom



Ohne Säule - Komplet

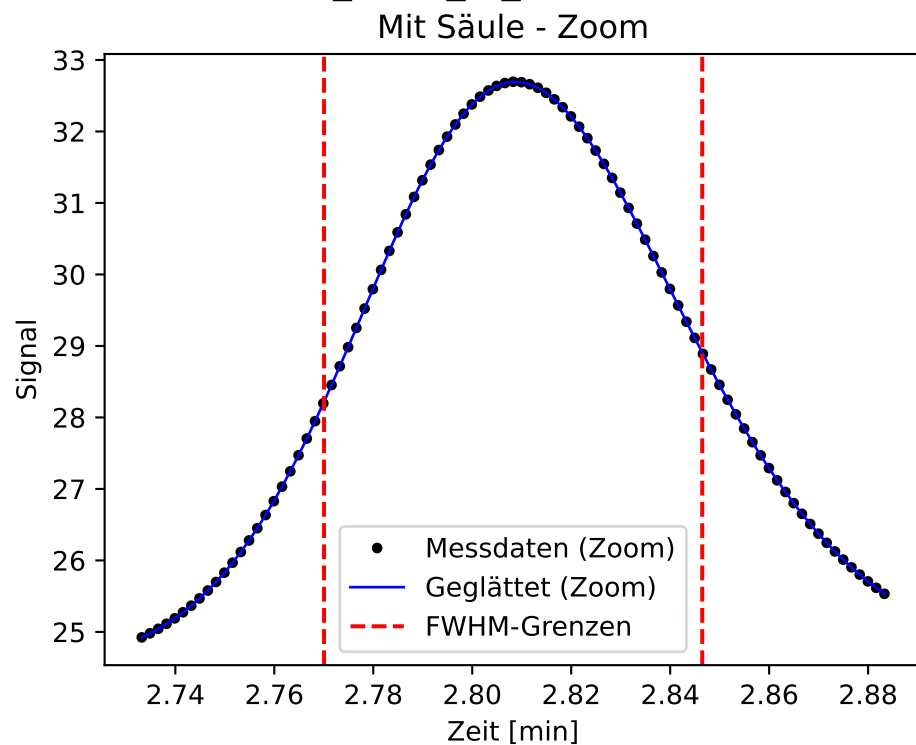
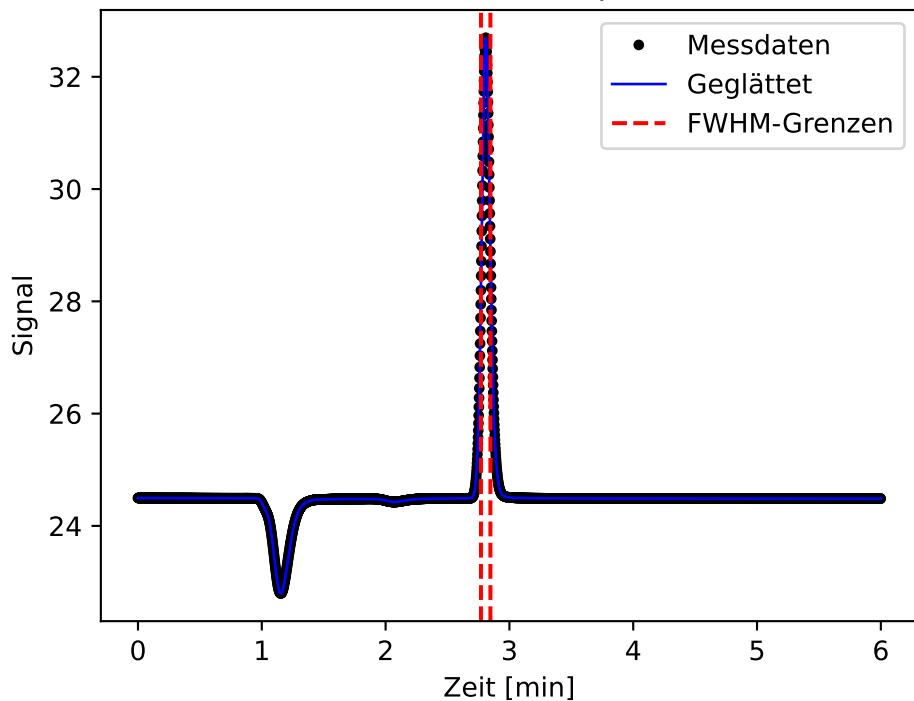


Ohne Säule - Zoom

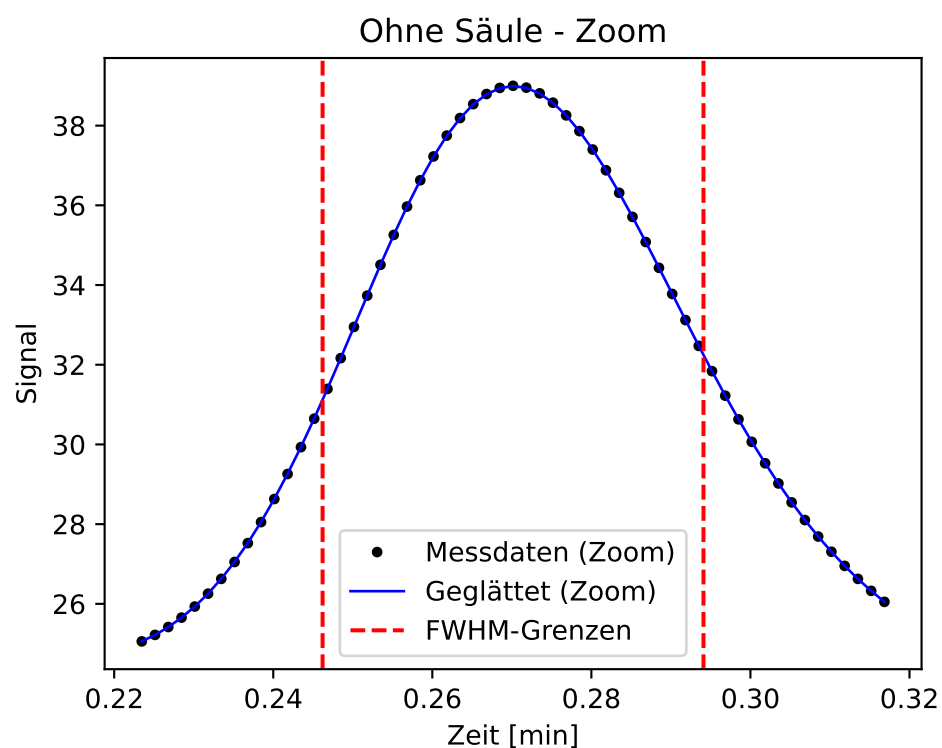
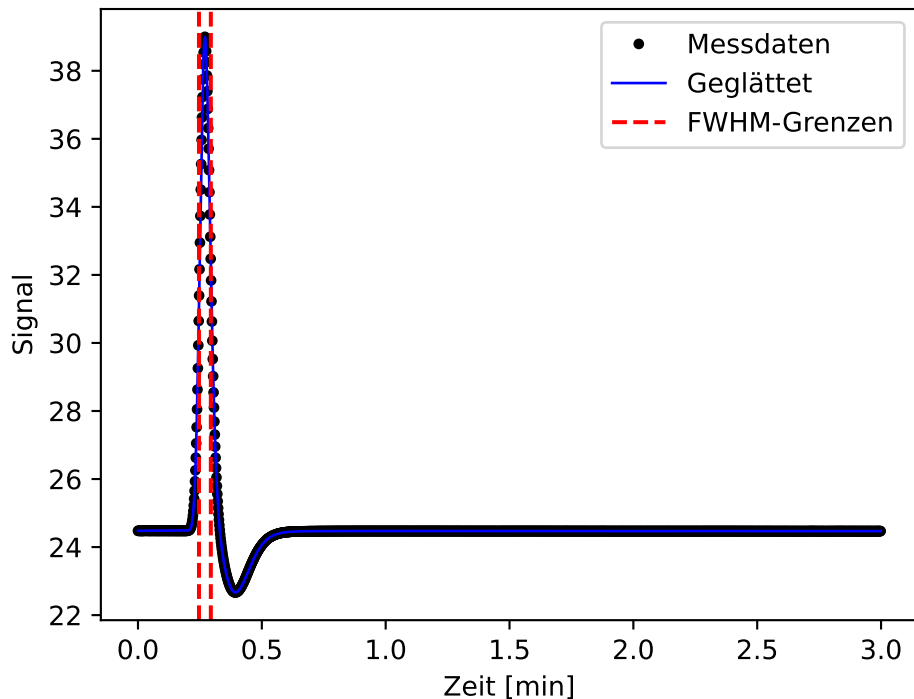


FWHM (mit Säule): 0.0847 min
FWHM (ohne Säule): 0.0526 min
 σ_{obs} (mit Säule): 0.0359
 σ_{ext} (ohne Säule): 0.0223
 σ_{col} (Säule): 0.0282
FWHM (Säule): 0.0663 min

Messung 10: 2025-02-21_CI_10 vs. 2025-02-26_S007_CI_11
Mit Säule - Komplet

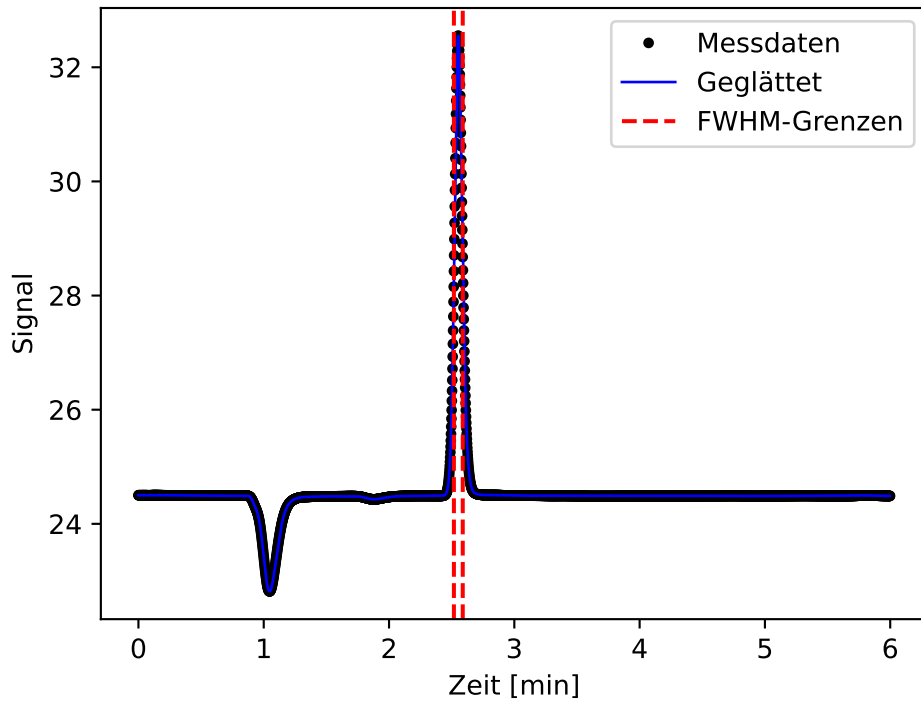


Ohne Säule - Komplet

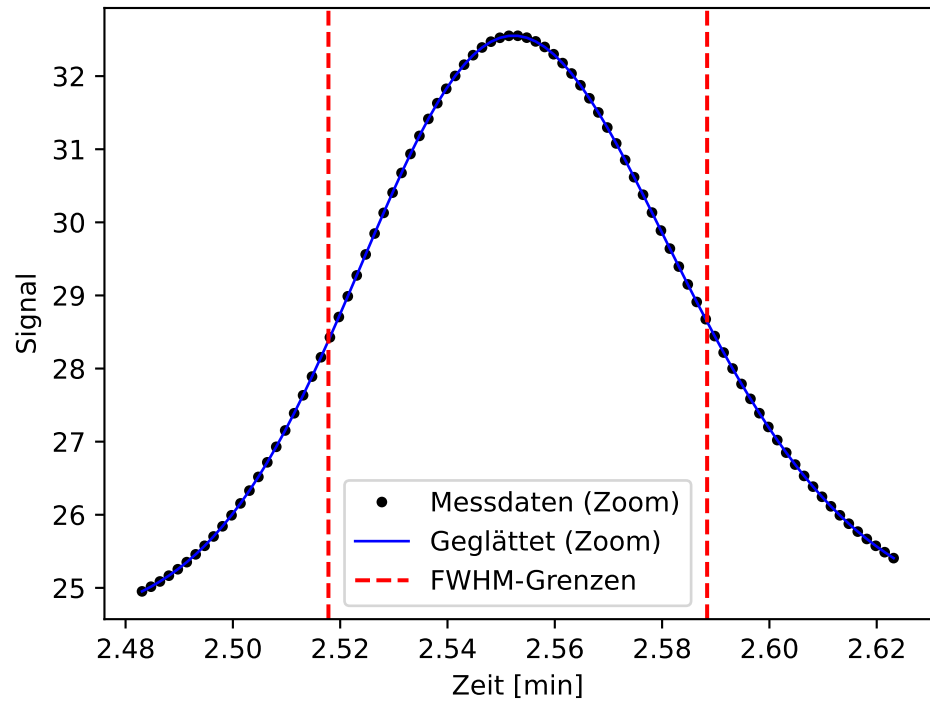


FWHM (mit Säule): 0.0764 min
FWHM (ohne Säule): 0.0479 min
 σ_{obs} (mit Säule): 0.0325
 σ_{ext} (ohne Säule): 0.0203
 σ_{col} (Säule): 0.0253
FWHM (Säule): 0.0596 min

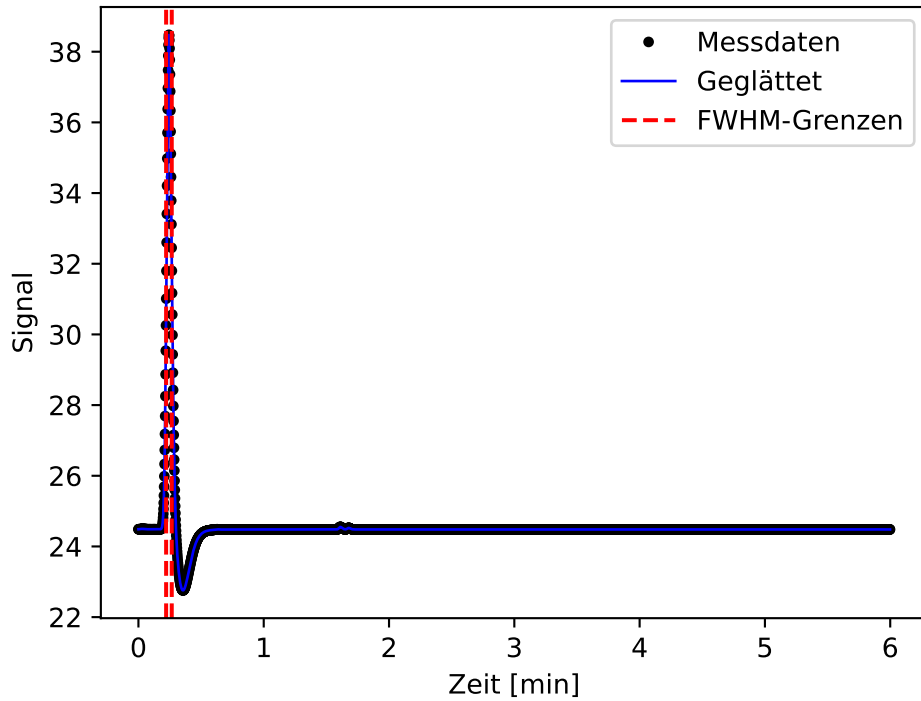
Messung 11: 2025-02-21_CI_11 vs. 2025-02-26_S007_CI_10
Mit Säule - Komplet



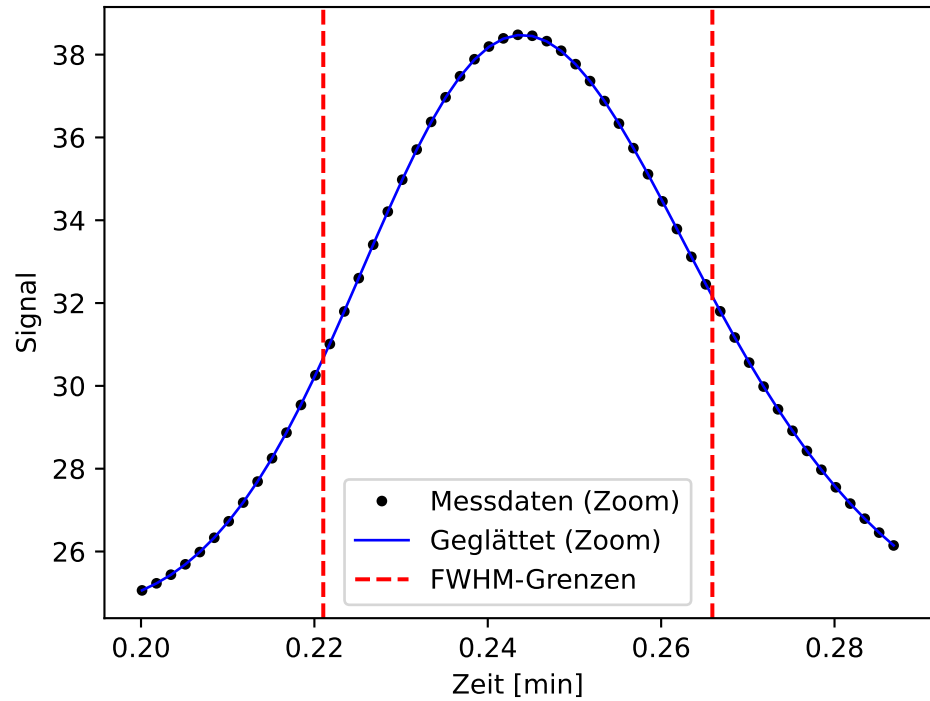
Mit Säule - Zoom



Ohne Säule - Komplet

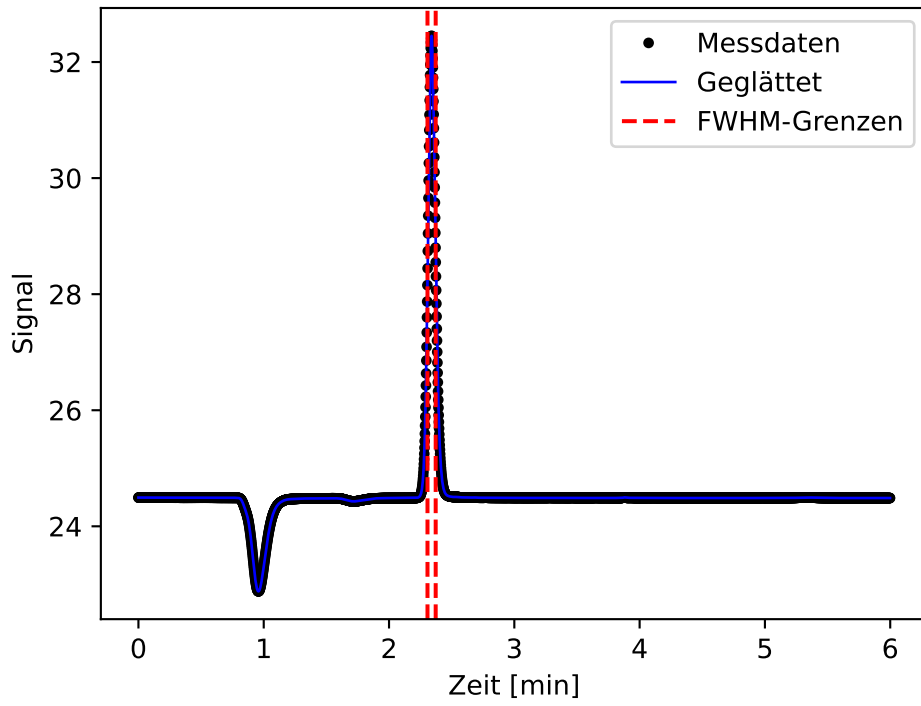


Ohne Säule - Zoom

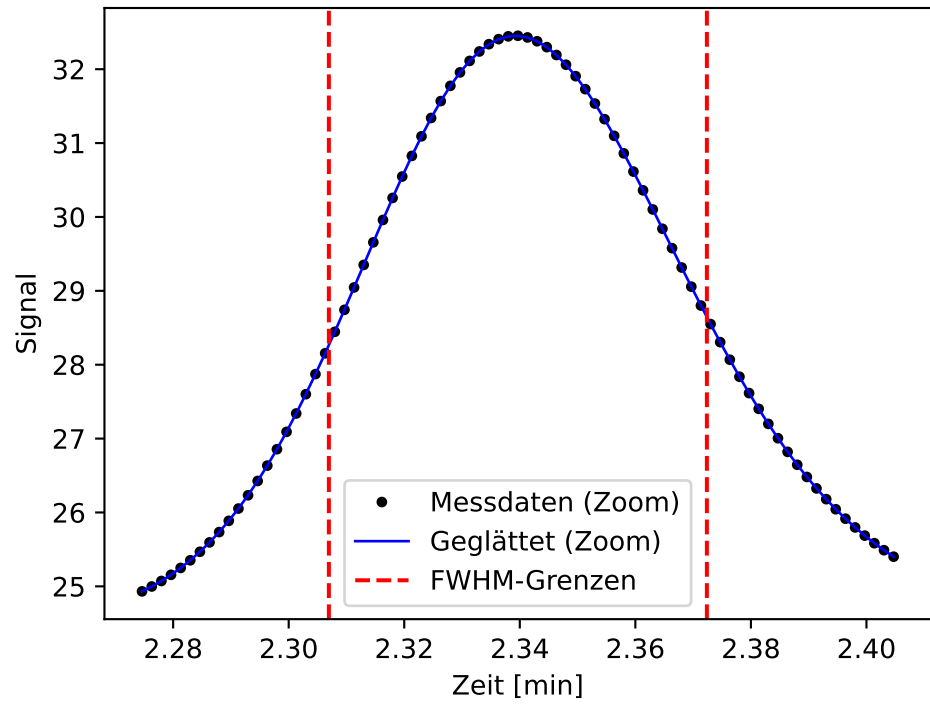


FWHM (mit Säule): 0.0706 min
FWHM (ohne Säule): 0.0449 min
 σ_{obs} (mit Säule): 0.0300
 σ_{ext} (ohne Säule): 0.0191
 σ_{col} (Säule): 0.0231
FWHM (Säule): 0.0545 min

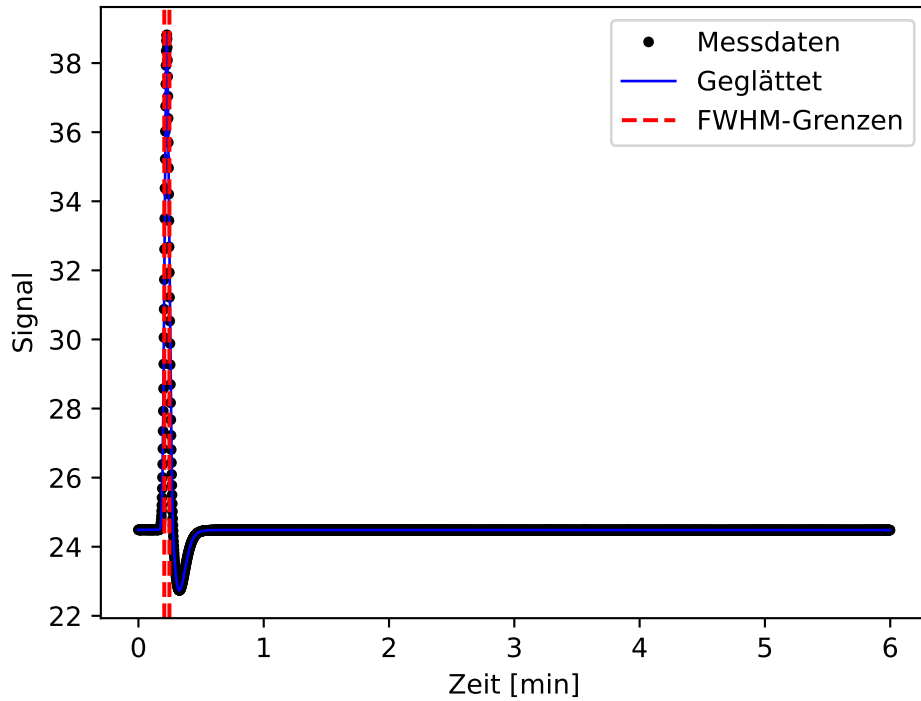
Messung 12: 2025-02-21_CI_12 vs. 2025-02-26_S007_CI_09
Mit Säule - Komplet



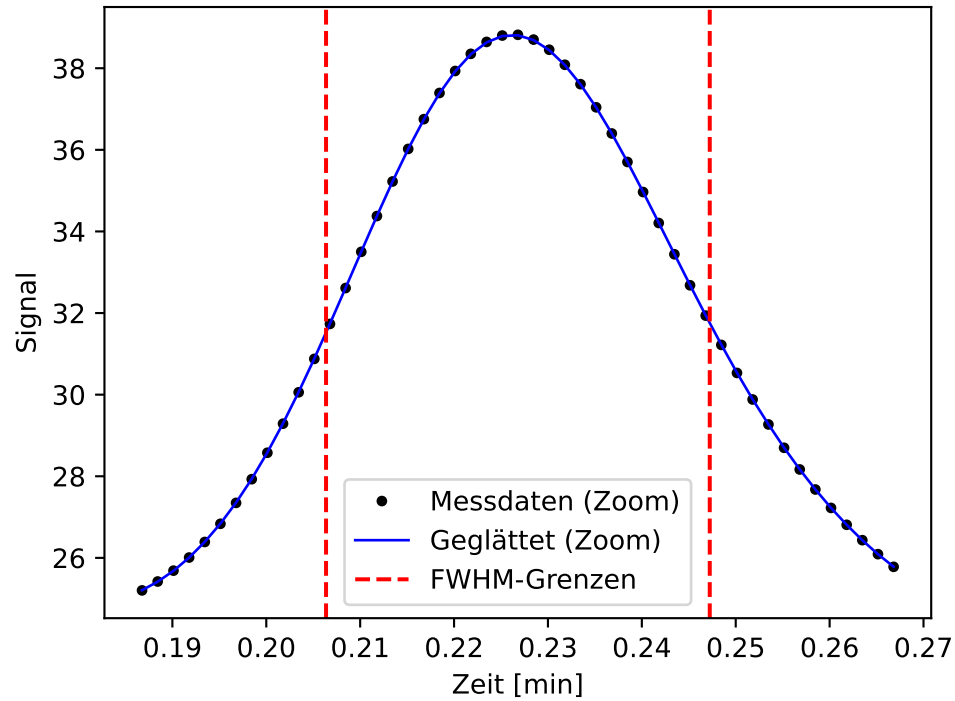
Mit Säule - Zoom



Ohne Säule - Komplet



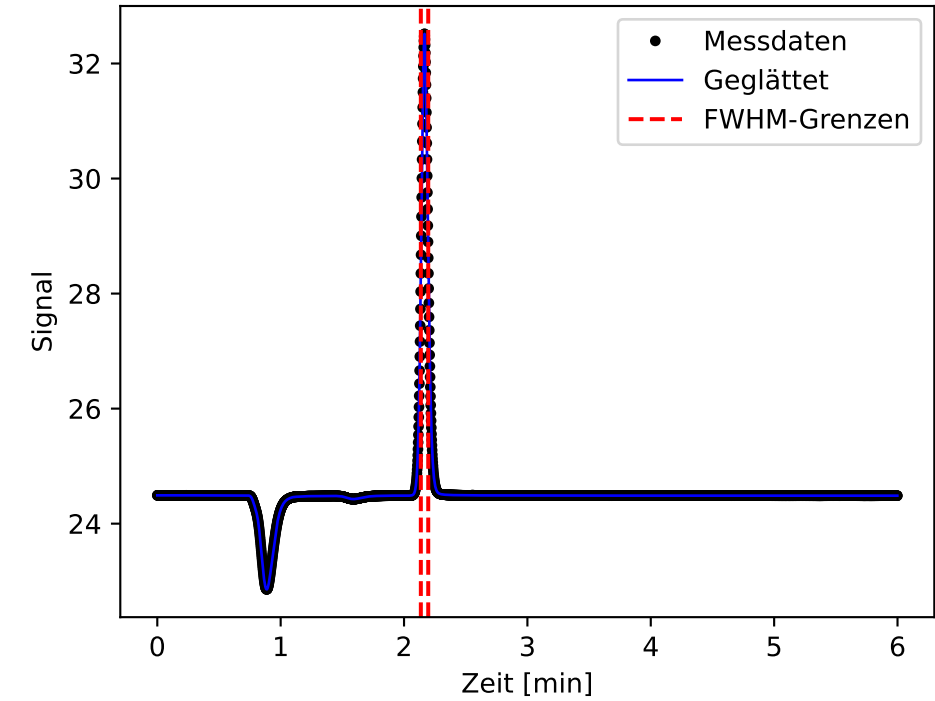
Ohne Säule - Zoom



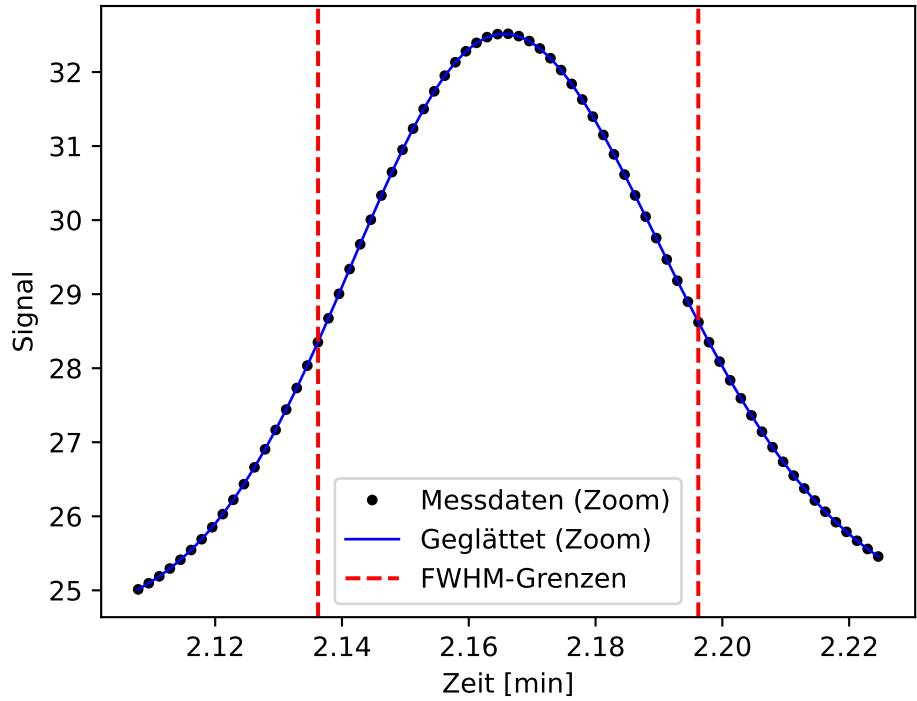
FWHM (mit Säule): 0.0654 min
FWHM (ohne Säule): 0.0409 min
 σ_{obs} (mit Säule): 0.0278
 σ_{ext} (ohne Säule): 0.0174
 σ_{col} (Säule): 0.0217
FWHM (Säule): 0.0511 min

Messung 13: 2025-02-21_CI_13 vs. 2025-02-26_S007_CI_08

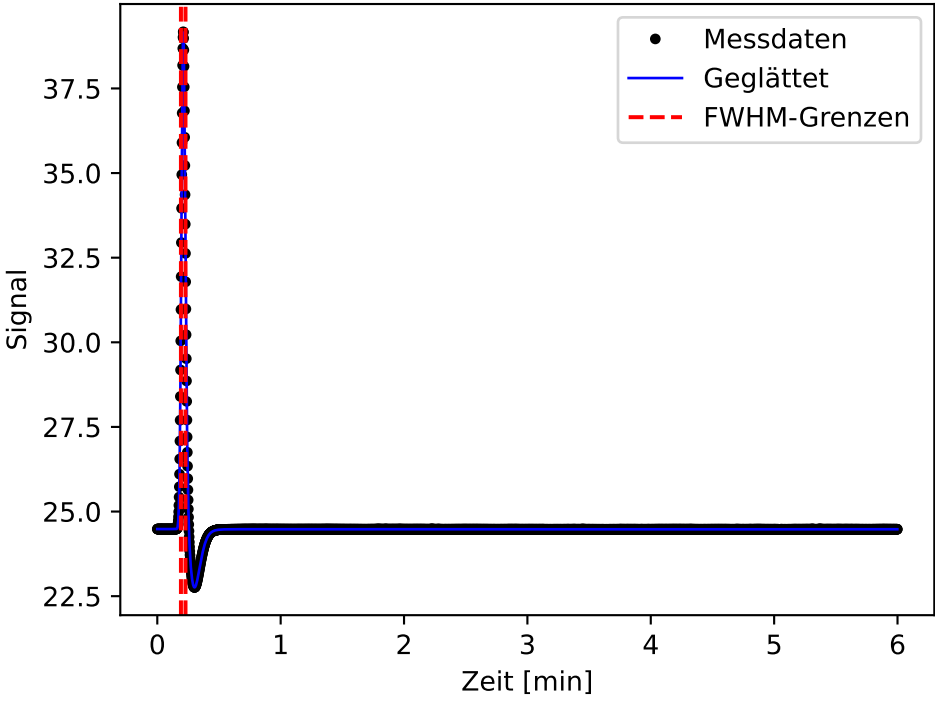
Mit Säule - Komplet



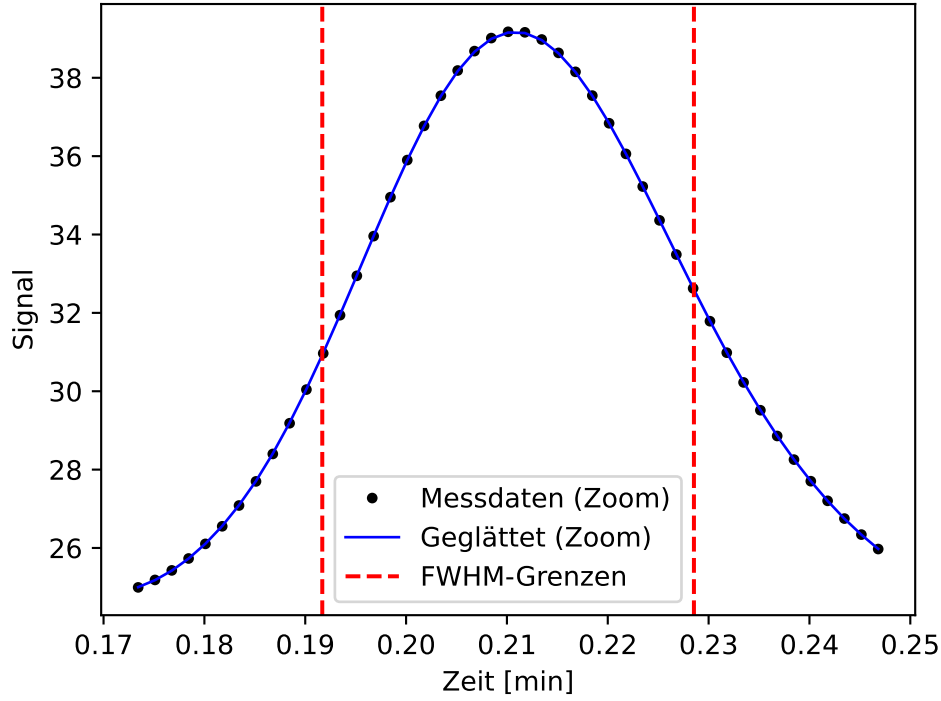
Mit Säule - Zoom



Ohne Säule - Komplet



Ohne Säule - Zoom

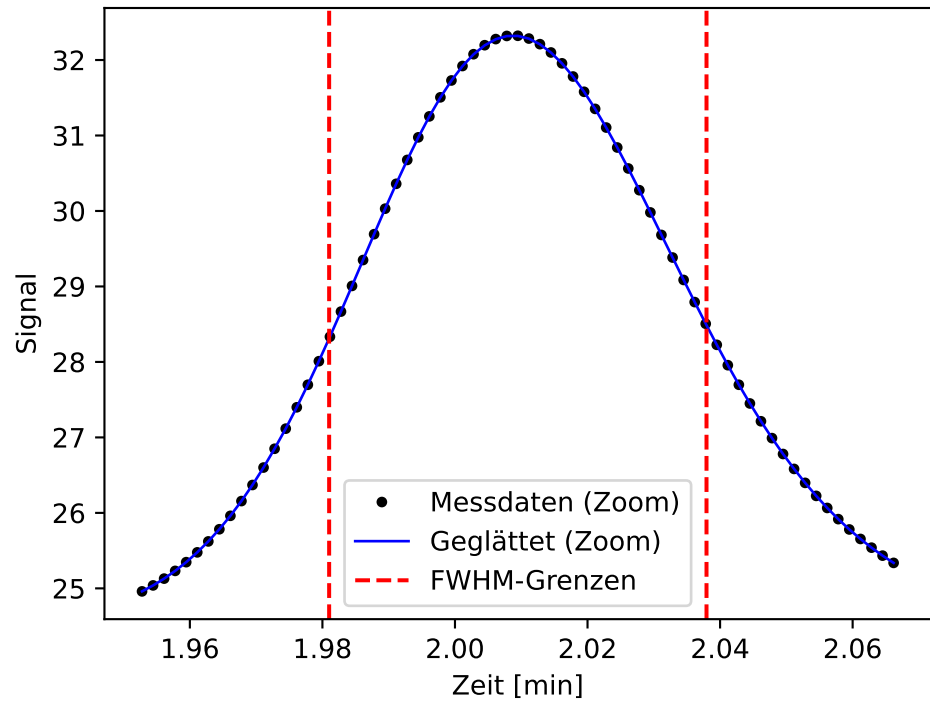
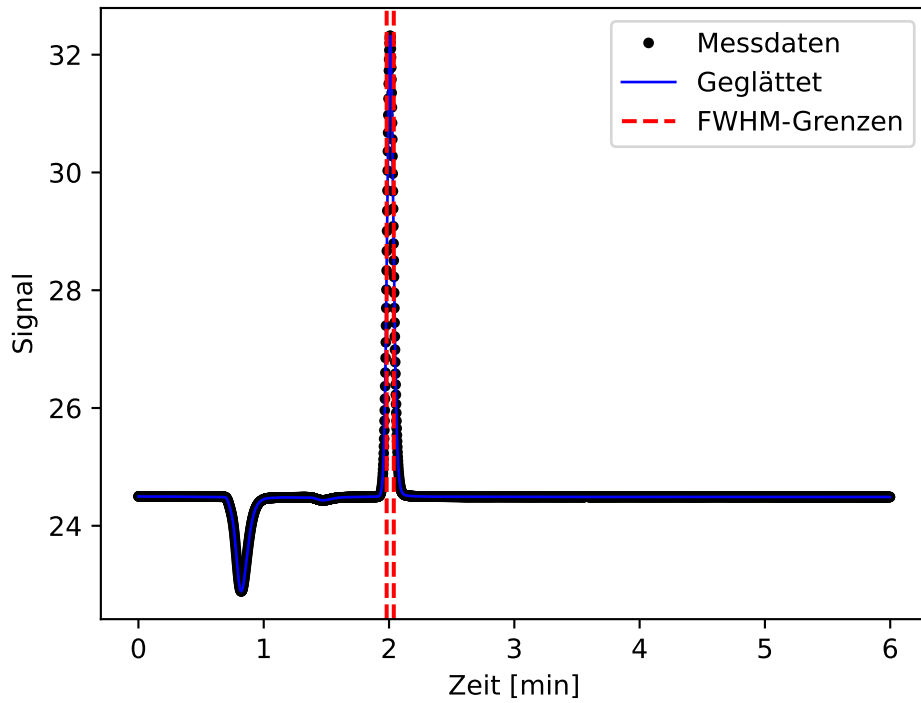


FWHM (mit Säule): 0.0600 min
FWHM (ohne Säule): 0.0369 min
 σ_{obs} (mit Säule): 0.0255
 σ_{ext} (ohne Säule): 0.0157
 σ_{col} (Säule): 0.0201
FWHM (Säule): 0.0473 min

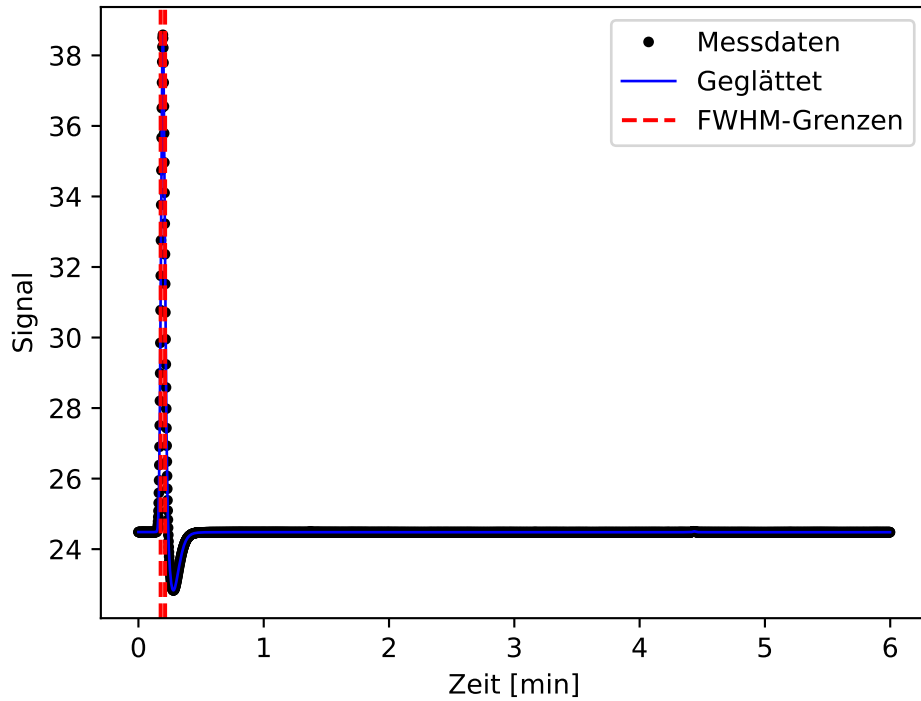
Messung 14: 2025-02-21_CI_14 vs. 2025-02-26_S007_CI_07

Mit Säule - Komplet

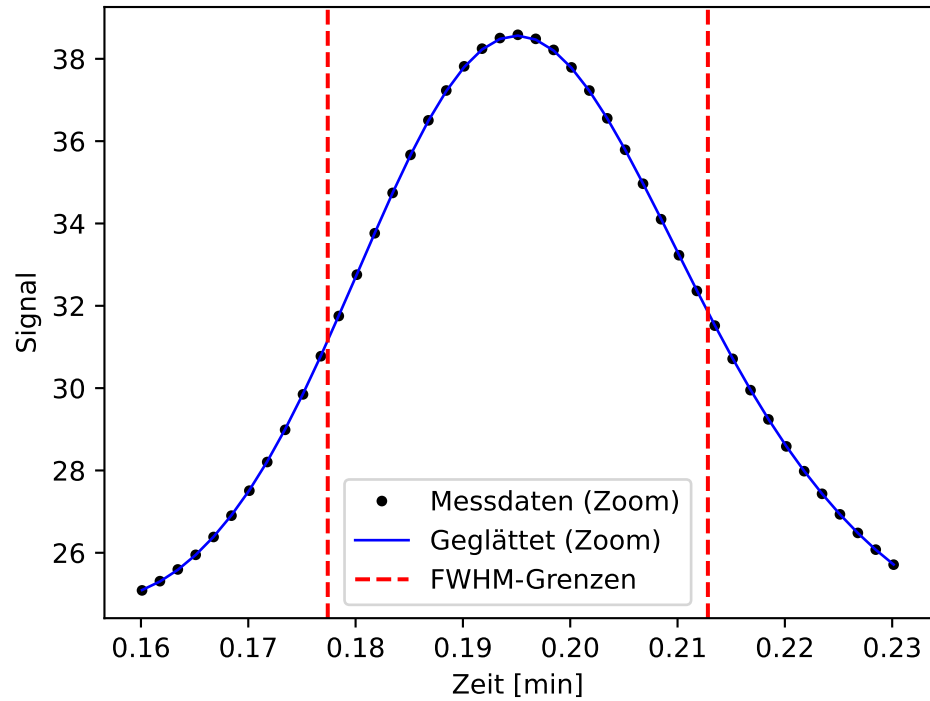
Mit Säule - Zoom



Ohne Säule - Komplet

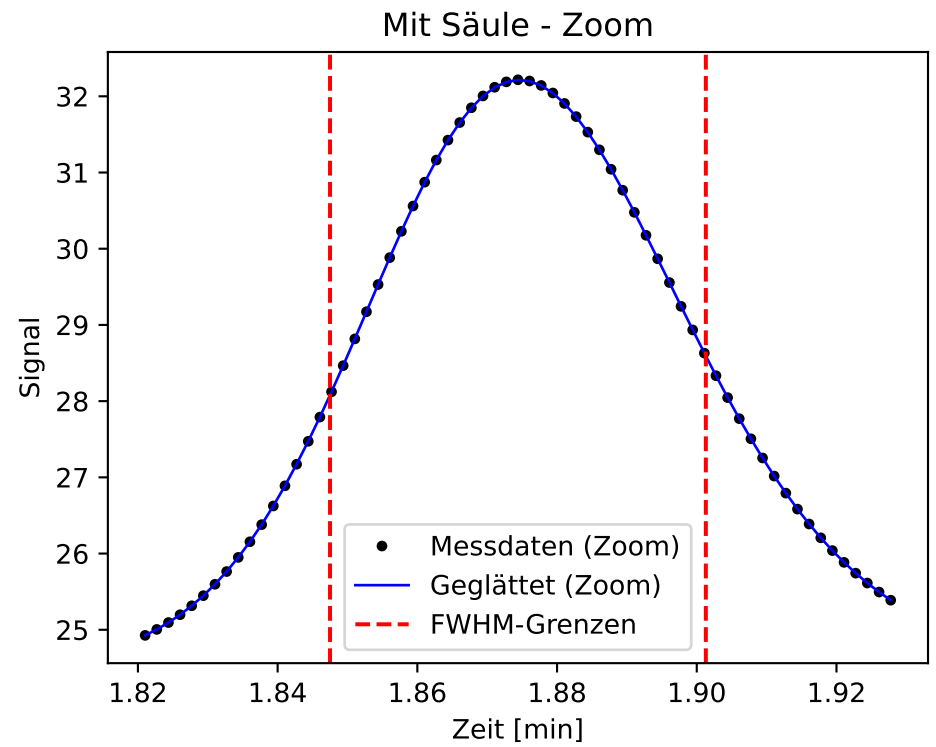
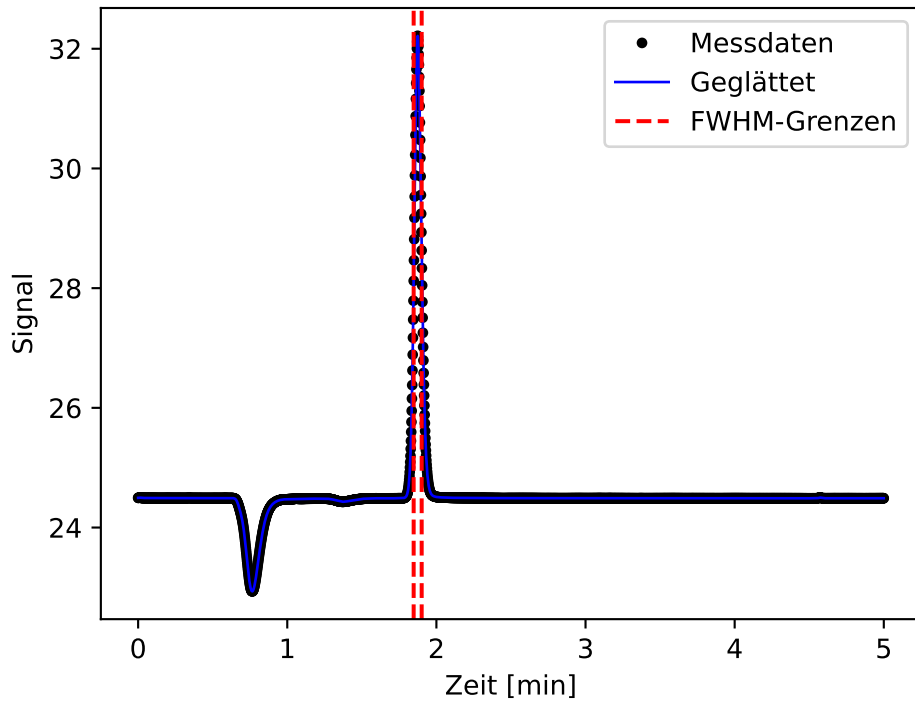


Ohne Säule - Zoom

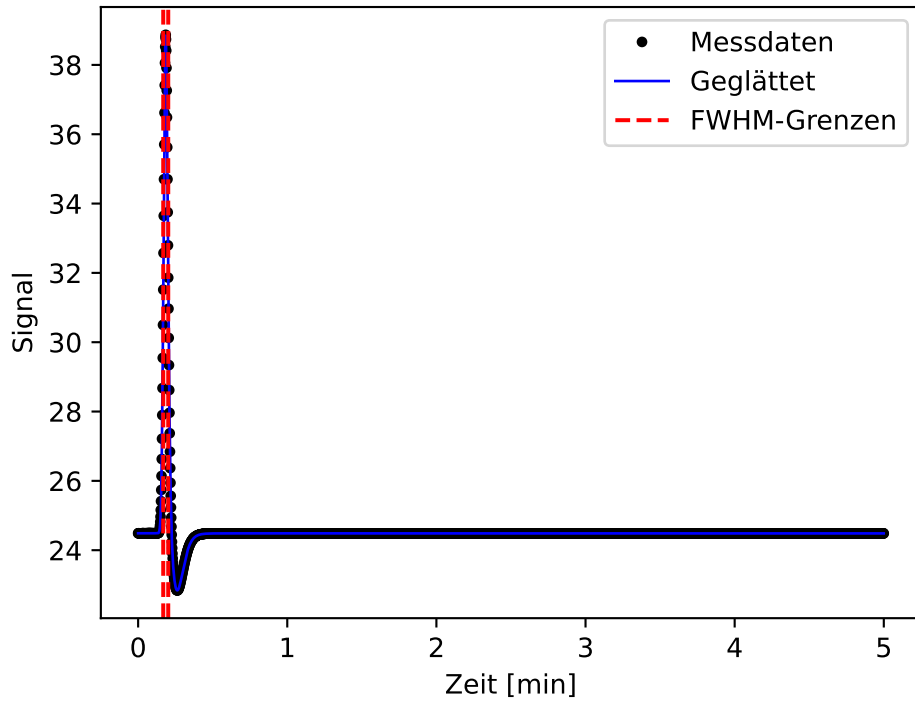


FWHM (mit Säule): 0.0569 min
FWHM (ohne Säule): 0.0354 min
 σ_{obs} (mit Säule): 0.0242
 σ_{ext} (ohne Säule): 0.0150
 σ_{col} (Säule): 0.0189
FWHM (Säule): 0.0446 min

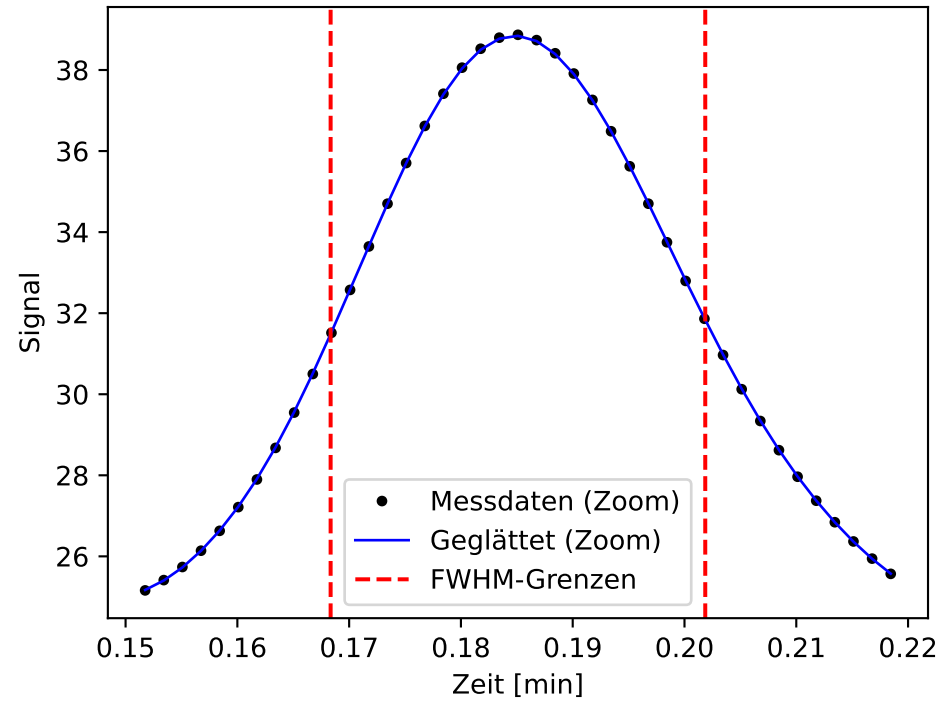
Messung 15: 2025-02-21_CI_15 vs. 2025-02-26_S007_CI_06
Mit Säule - Komplet



Ohne Säule - Komplet



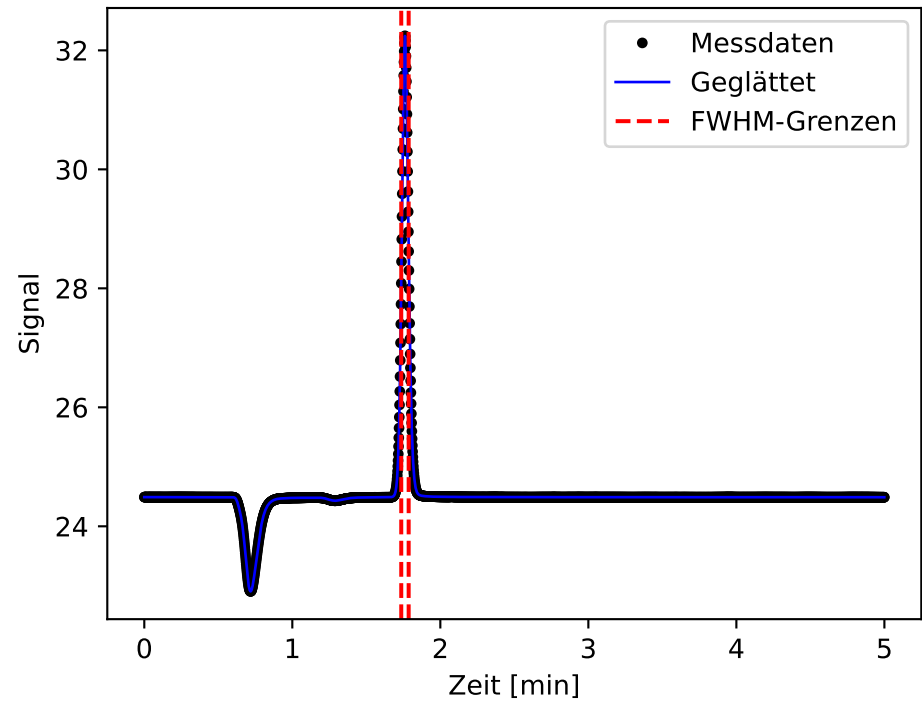
Ohne Säule - Zoom



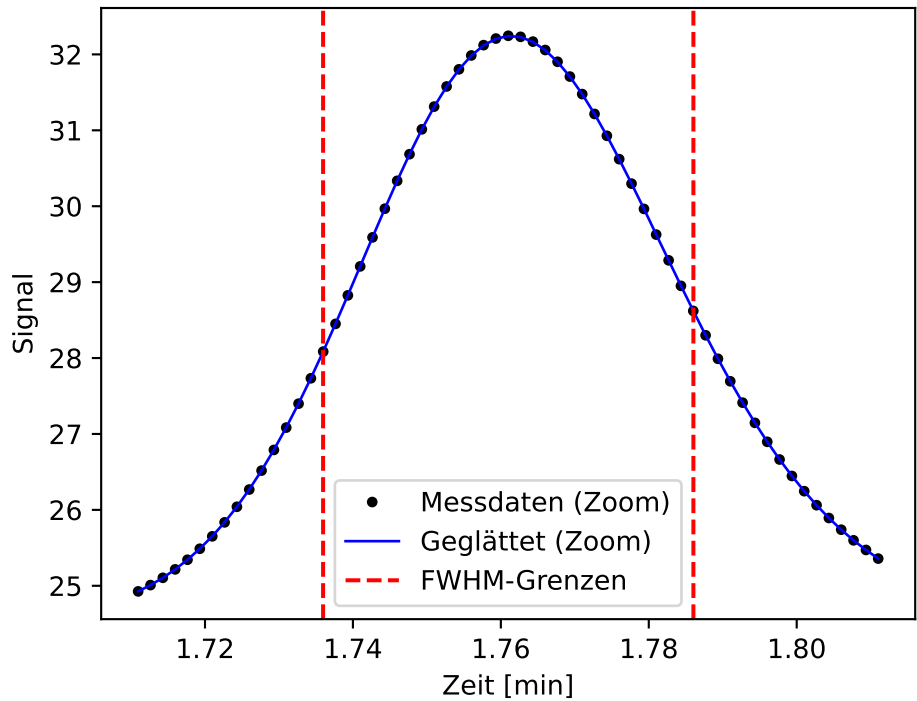
FWHM (mit Säule): 0.0538 min
FWHM (ohne Säule): 0.0335 min
 σ_{obs} (mit Säule): 0.0228
 σ_{ext} (ohne Säule): 0.0142
 σ_{col} (Säule): 0.0179
FWHM (Säule): 0.0421 min

Messung 16: 2025-02-21_CI_16 vs. 2025-02-26_S007_CI_05

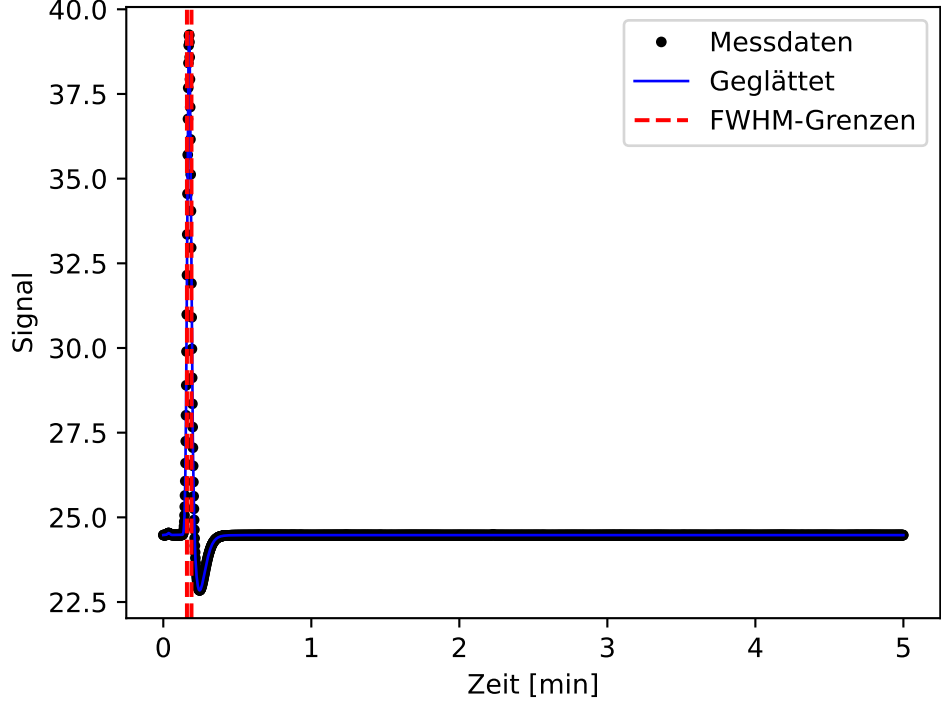
Mit Säule - Komplet



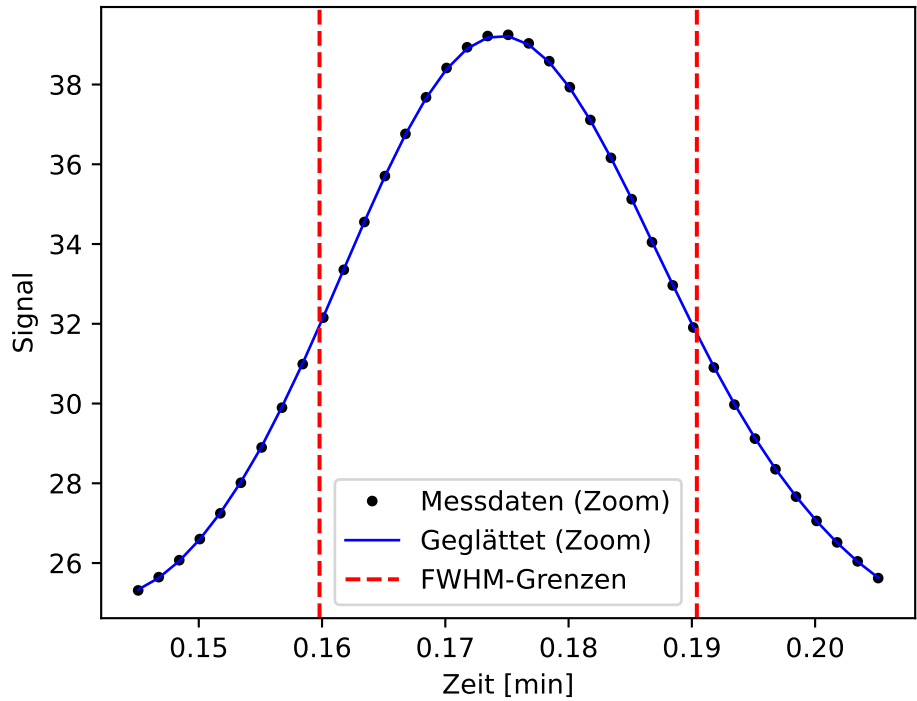
Mit Säule - Zoom



Ohne Säule - Komplet

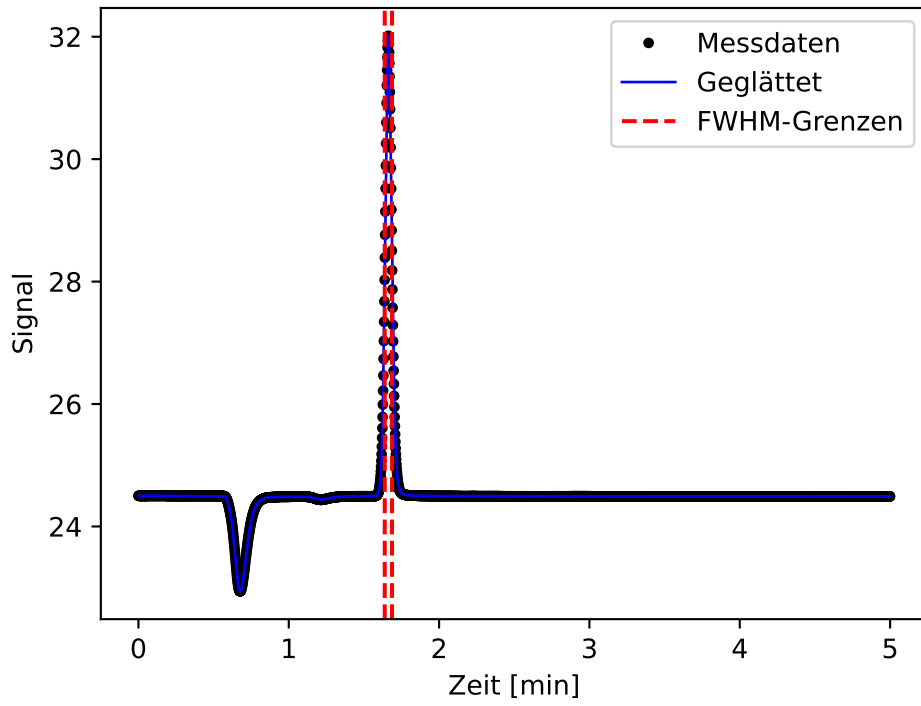


Ohne Säule - Zoom

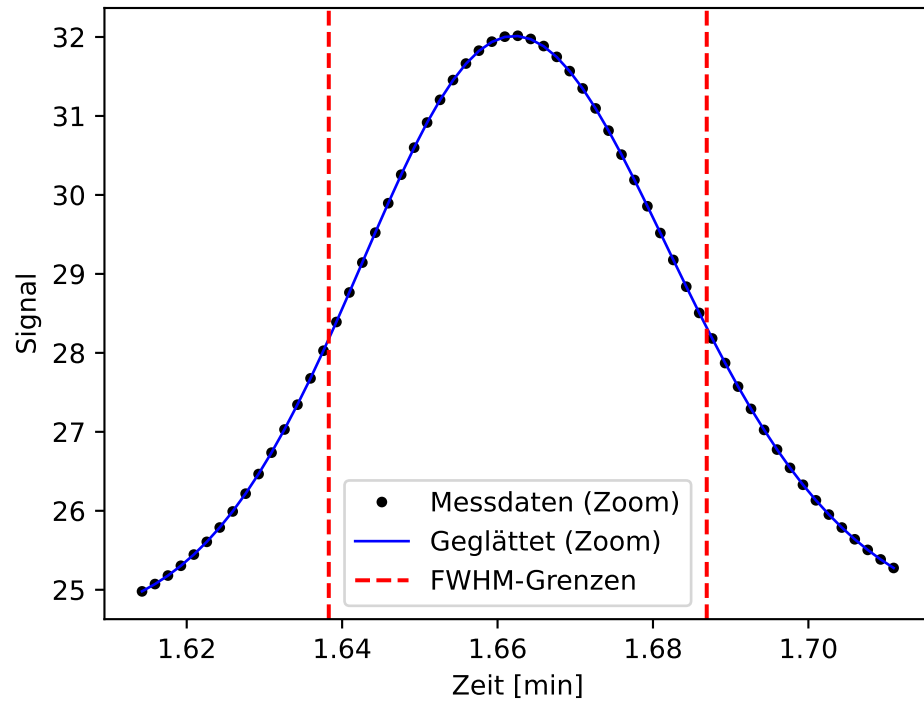


FWHM (mit Säule): 0.0501 min
FWHM (ohne Säule): 0.0306 min
 σ_{obs} (mit Säule): 0.0213
 σ_{ext} (ohne Säule): 0.0130
 σ_{col} (Säule): 0.0168
FWHM (Säule): 0.0396 min

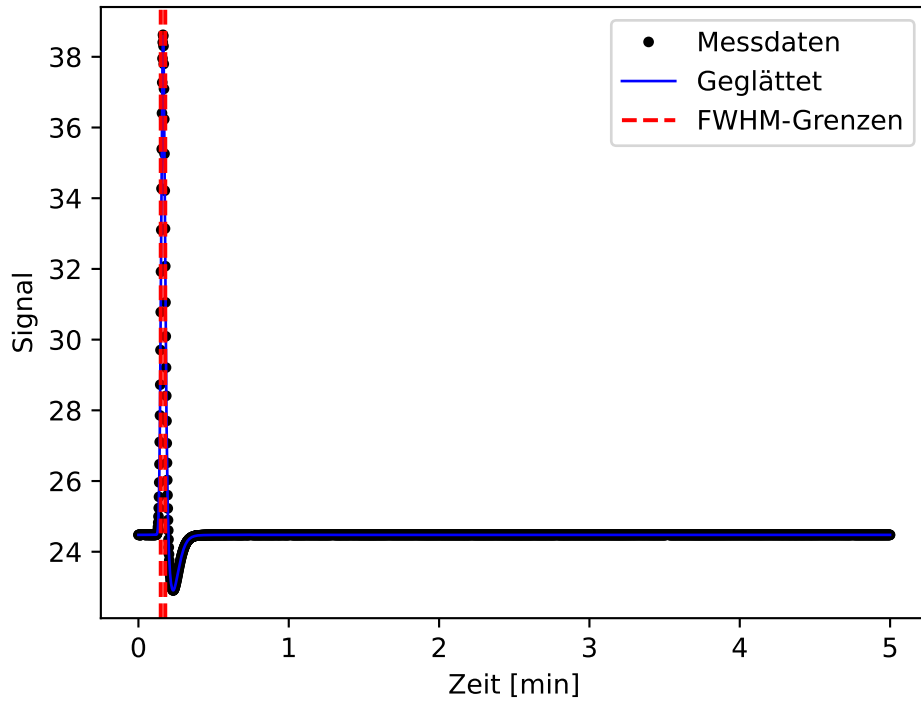
Messung 17: 2025-02-21_CI_17 vs. 2025-02-26_S007_CI_04
Mit Säule - Komplet



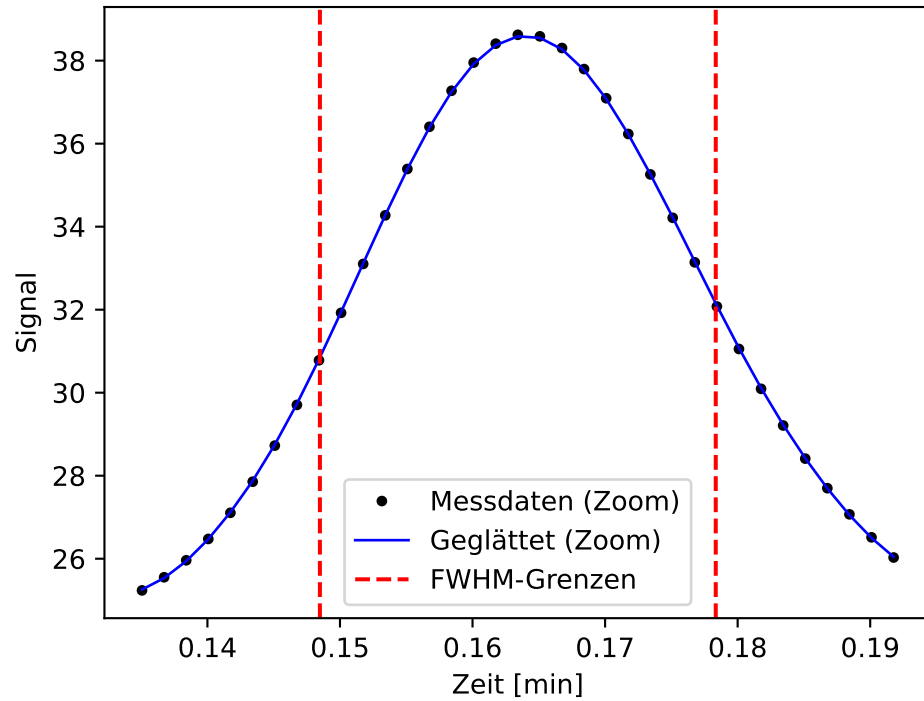
Mit Säule - Zoom



Ohne Säule - Komplet



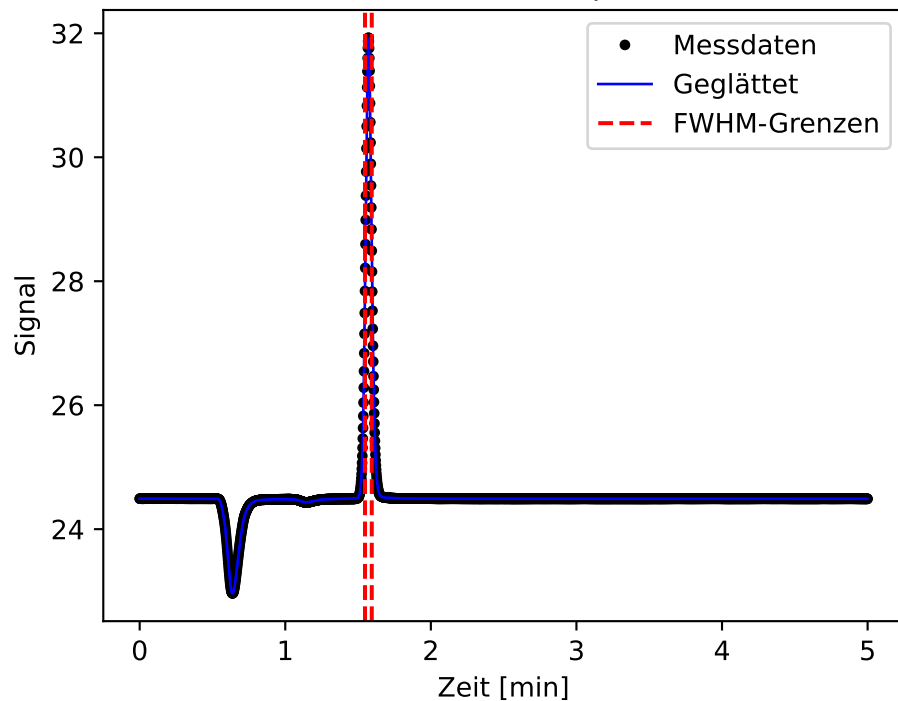
Ohne Säule - Zoom



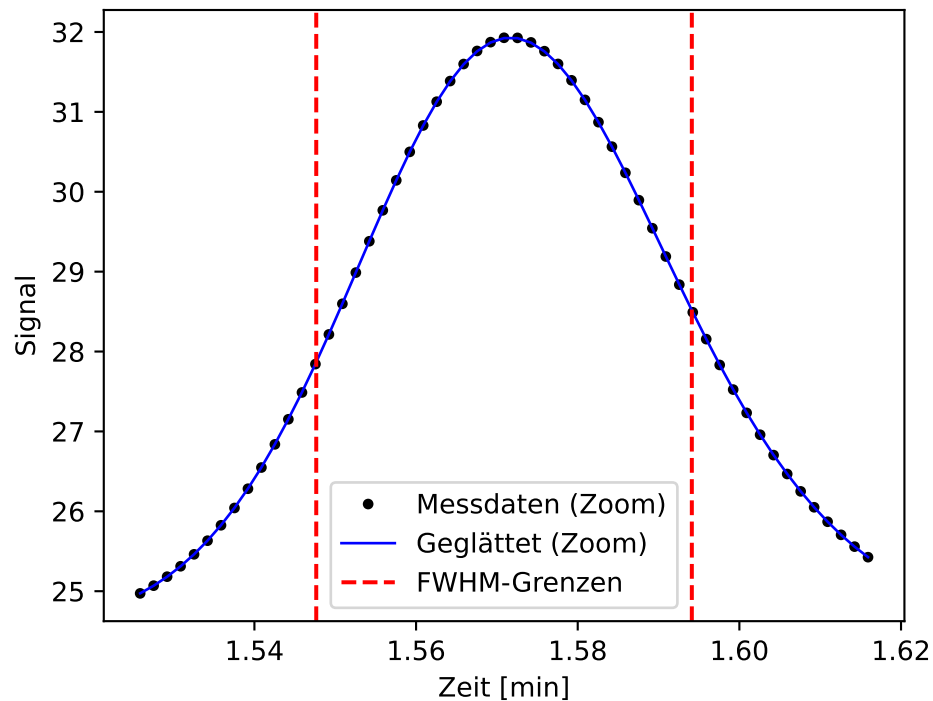
FWHM (mit Säule): 0.0486 min
FWHM (ohne Säule): 0.0299 min
 σ_{obs} (mit Säule): 0.0207
 σ_{ext} (ohne Säule): 0.0127
 σ_{col} (Säule): 0.0163
FWHM (Säule): 0.0384 min

Messung 18: 2025-02-21_CI_18 vs. 2025-02-26_S007_CI_03

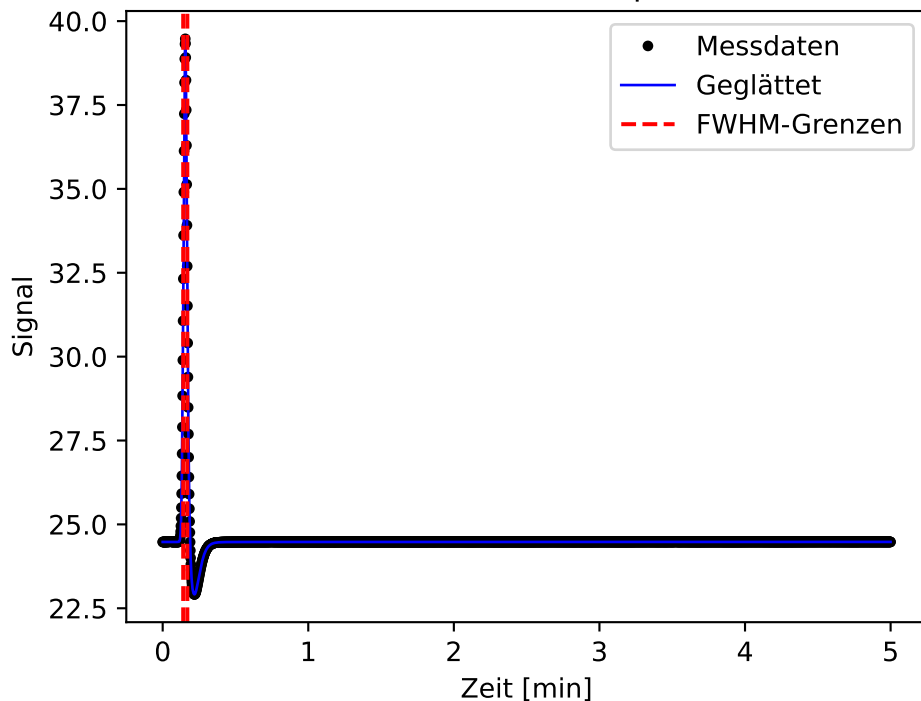
Mit Säule - Komplet



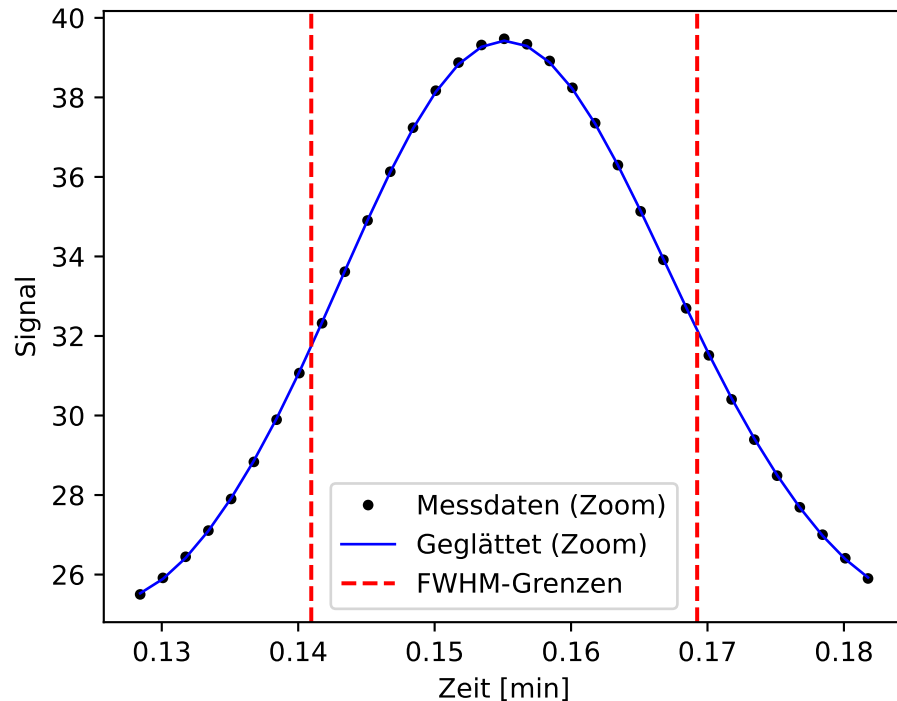
Mit Säule - Zoom



Ohne Säule - Komplet



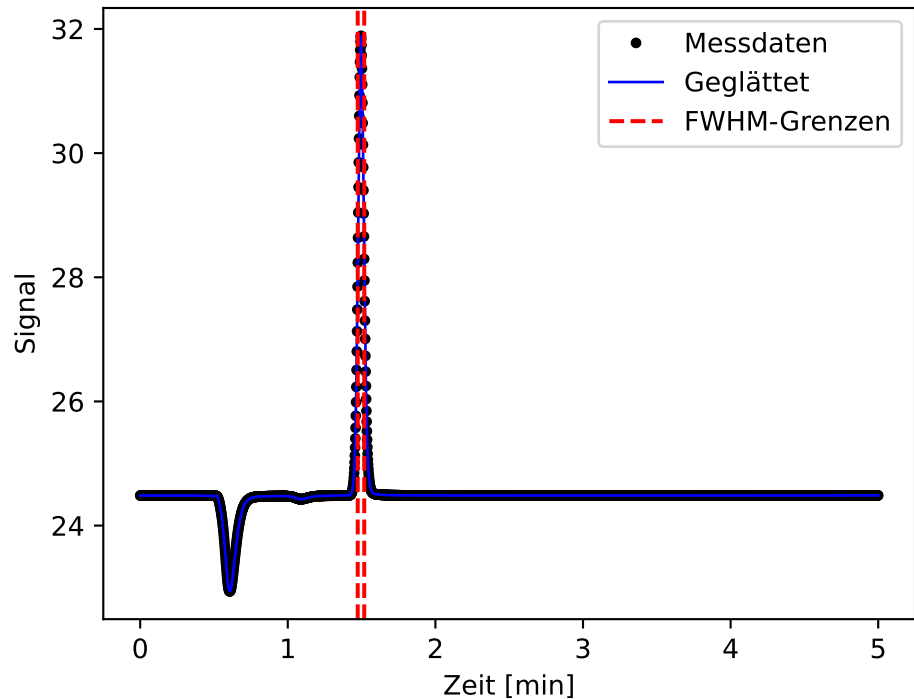
Ohne Säule - Zoom



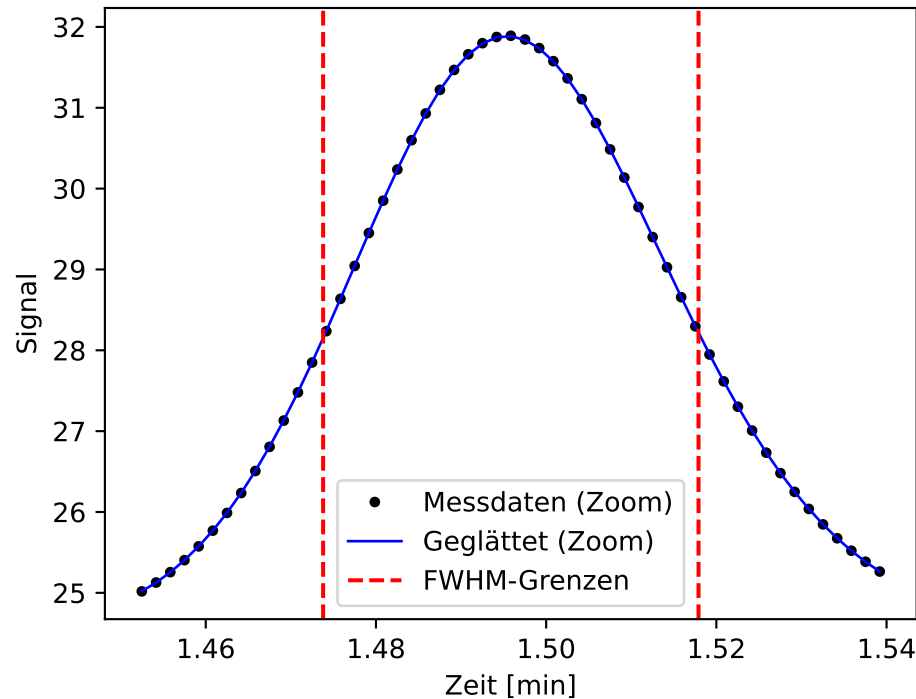
FWHM (mit Säule): 0.0465 min
 FWHM (ohne Säule): 0.0283 min
 σ_{obs} (mit Säule): 0.0197
 σ_{ext} (ohne Säule): 0.0120
 σ_{col} (Säule): 0.0157
 FWHM (Säule): 0.0369 min

Messung 19: 2025-02-21_CI_19 vs. 2025-02-26_S007_CI_02

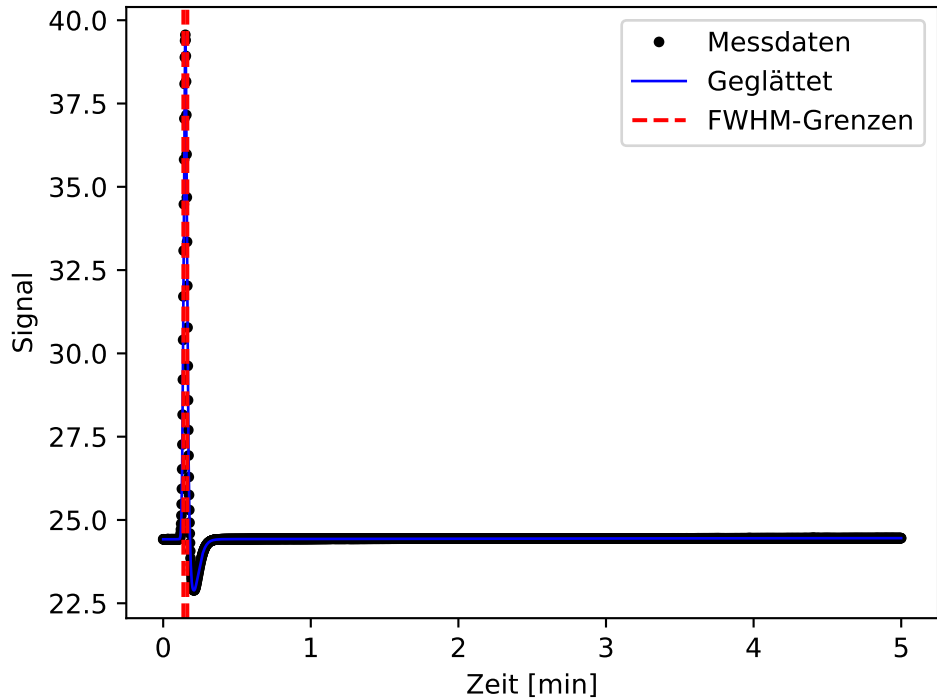
Mit Säule - Komplet



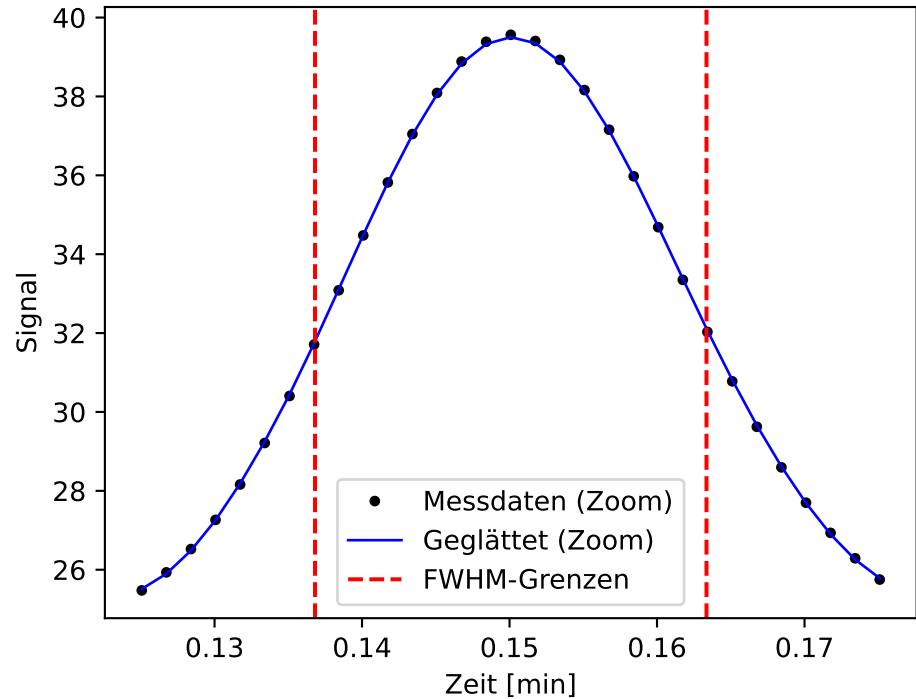
Mit Säule - Zoom



Ohne Säule - Komplet



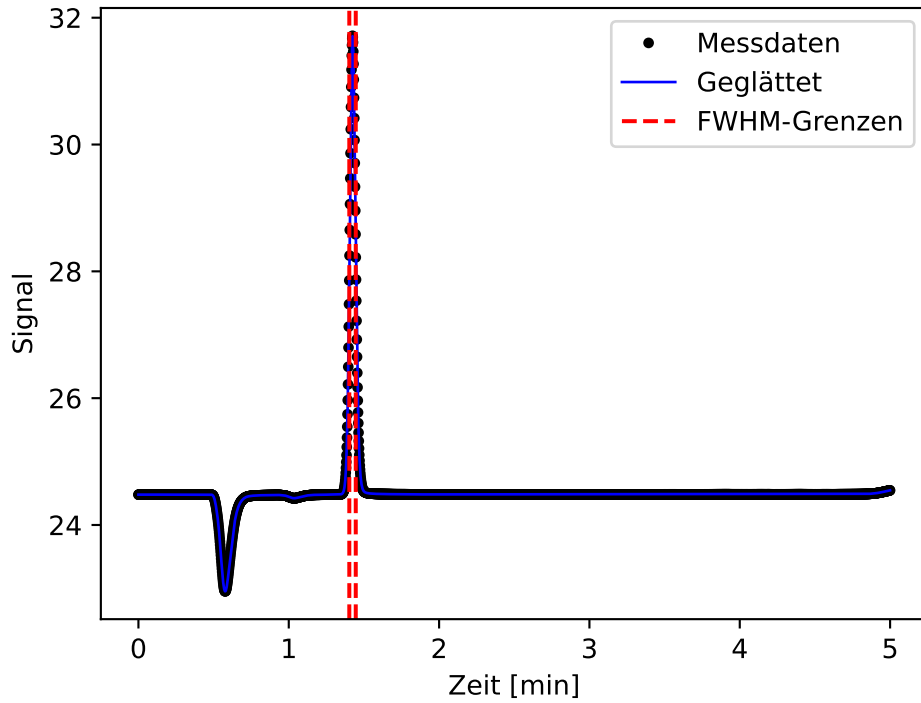
Ohne Säule - Zoom



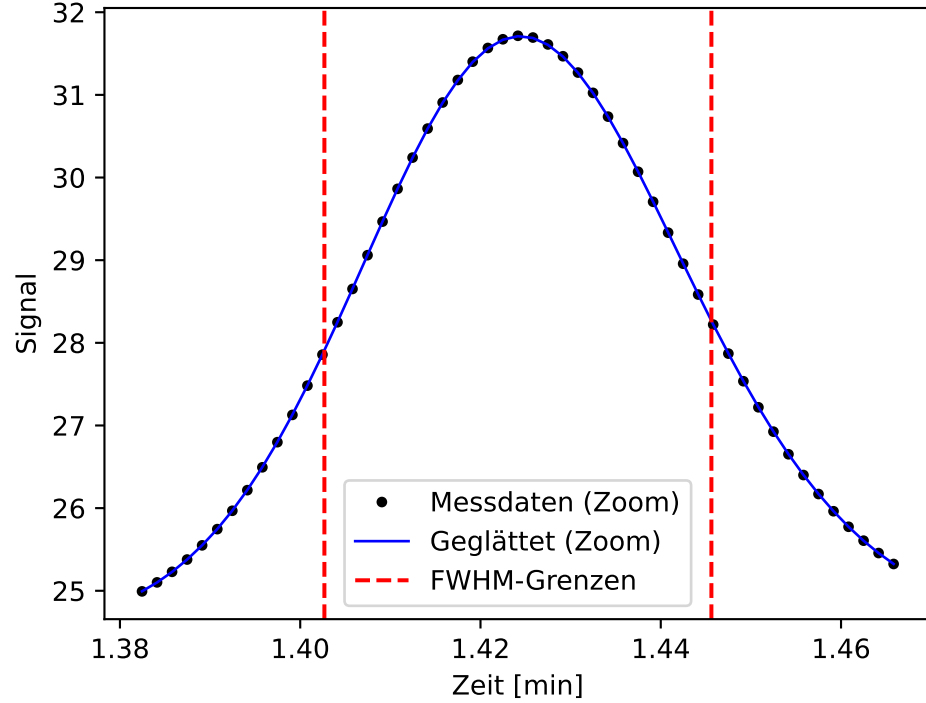
FWHM (mit Säule): 0.0441 min
 FWHM (ohne Säule): 0.0265 min
 σ_{obs} (mit Säule): 0.0187
 σ_{ext} (ohne Säule): 0.0113
 σ_{col} (Säule): 0.0150
 FWHM (Säule): 0.0352 min

Messung 20: 2025-02-21_CI_20 vs. 2025-02-26_S007_CI_01

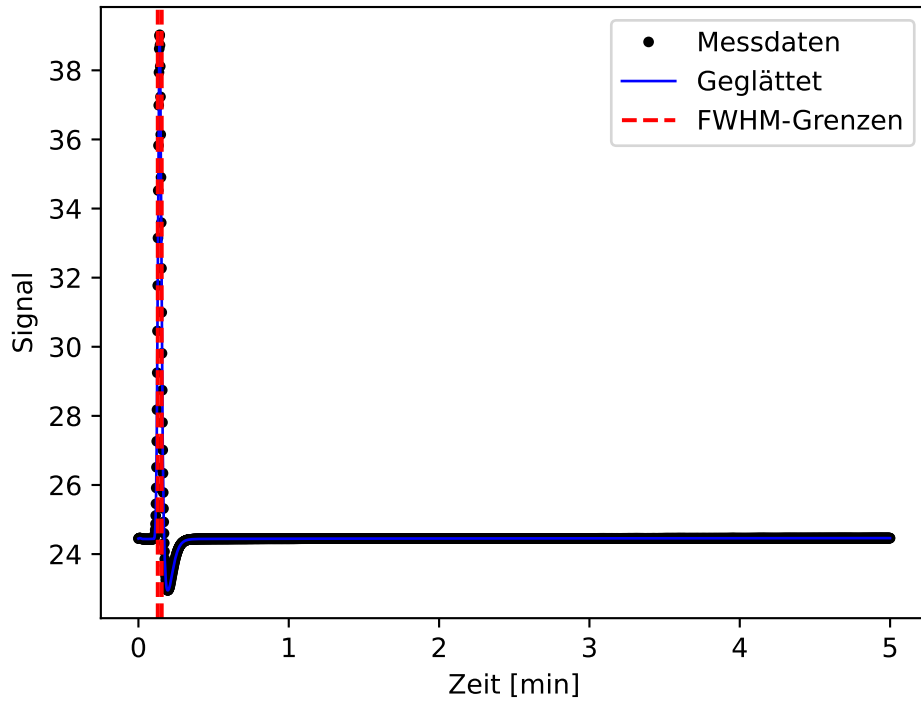
Mit Säule - Komplet



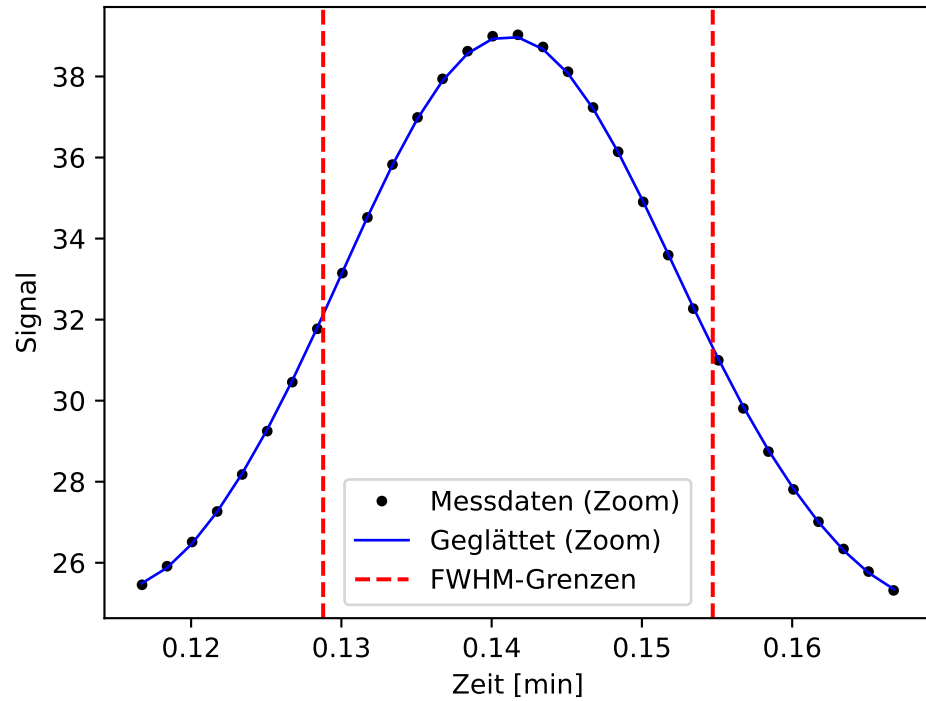
Mit Säule - Zoom



Ohne Säule - Komplet



Ohne Säule - Zoom



FWHM (mit Säule): 0.0429 min
FWHM (ohne Säule): 0.0259 min
 σ_{obs} (mit Säule): 0.0182
 σ_{ext} (ohne Säule): 0.0110
 σ_{col} (Säule): 0.0145
FWHM (Säule): 0.0342 min

Übersicht der Berechnungen

Datei mit Säule	Datei ohne Säule	FWHM (mit Säule) [min]	FWHM (ohne Säule) [min]	σ_{obs}	σ_{ext}	σ_{col}	FWHM (Säule) [min]
2025-02-21_CI_01	2025-02-26_S007_CI_20	0.9408	0.3464	0.3995	0.1471	0.3715	0.8747
2025-02-21_CI_02	2025-02-26_S007_CI_19	0.3944	0.1851	0.1675	0.0786	0.1479	0.3483
2025-02-21_CI_03	2025-02-26_S007_CI_18	0.2497	0.1328	0.1060	0.0564	0.0898	0.2115
2025-02-21_CI_04	2025-02-26_S007_CI_17	0.1823	0.1057	0.0774	0.0449	0.0631	0.1486
2025-02-21_CI_05	2025-02-26_S007_CI_16	0.1459	0.0870	0.0619	0.0370	0.0497	0.1171
2025-02-21_CI_06	2025-02-26_S007_CI_15	0.1227	0.0745	0.0521	0.0316	0.0414	0.0975
2025-02-21_CI_07	2025-02-26_S007_CI_14	0.1060	0.0652	0.0450	0.0277	0.0355	0.0835
2025-02-21_CI_08	2025-02-26_S007_CI_13	0.0938	0.0589	0.0399	0.0250	0.0310	0.0731
2025-02-21_CI_09	2025-02-26_S007_CI_12	0.0847	0.0526	0.0359	0.0223	0.0282	0.0663
2025-02-21_CI_10	2025-02-26_S007_CI_11	0.0764	0.0479	0.0325	0.0203	0.0253	0.0596
2025-02-21_CI_11	2025-02-26_S007_CI_10	0.0706	0.0449	0.0300	0.0191	0.0231	0.0545
2025-02-21_CI_12	2025-02-26_S007_CI_09	0.0654	0.0409	0.0278	0.0174	0.0217	0.0511
2025-02-21_CI_13	2025-02-26_S007_CI_08	0.0600	0.0369	0.0255	0.0157	0.0201	0.0473
2025-02-21_CI_14	2025-02-26_S007_CI_07	0.0569	0.0354	0.0242	0.0150	0.0189	0.0446
2025-02-21_CI_15	2025-02-26_S007_CI_06	0.0538	0.0335	0.0228	0.0142	0.0179	0.0421
2025-02-21_CI_16	2025-02-26_S007_CI_05	0.0501	0.0306	0.0213	0.0130	0.0168	0.0396
2025-02-21_CI_17	2025-02-26_S007_CI_04	0.0486	0.0299	0.0207	0.0127	0.0163	0.0384
2025-02-21_CI_18	2025-02-26_S007_CI_03	0.0465	0.0283	0.0197	0.0120	0.0157	0.0369
2025-02-21_CI_19	2025-02-26_S007_CI_02	0.0441	0.0265	0.0187	0.0113	0.0150	0.0352
2025-02-21_CI_20	2025-02-26_S007_CI_01	0.0429	0.0259	0.0182	0.0110	0.0145	0.0342